

## A Condition-based Grey Wolf Optimizer Algorithm for Global Optimization Problems

Safora Akhavan-Nasab<sup>1</sup> and Zahra Beheshti<sup>2,3\*</sup>

1- Faculty of Computer Engineering, Najafabad Branch, Islamic Azad University, Najafabad, Iran.

2\*- Faculty of Computer Engineering, Najafabad Branch, Islamic Azad University, Najafabad, Iran.

3\*- Big Data Research Center, Najafabad Branch, Islamic Azad University, Najafabad, Iran.

<sup>1</sup>safora\_akhavannasab@sco.iaun.ac.ir and <sup>2,3\*</sup>z-beheshti@iaun.ac.ir

\*Corresponding author's address: Zahra Beheshti, Faculty of Computer Engineering, Najafabad Branch, Islamic Azad University, Najafabad, Iran.

**Abstract-** Many real-world optimization problems are complex and high-dimensional problems. In the problems, the search space grows exponentially as the problem dimension increases. Therefore, exact algorithms are not able to find the best solution in a reasonable time. As a result, approximate algorithms are applied to solve these problems. Among these algorithms, meta-heuristic algorithms have been shown a good performance in solving these problems. The Grey Wolf Optimizer (GWO) algorithm is one of the meta-heuristic algorithms. However, the structure of the algorithm limits its exploration capability and it may fall in local optima. In this case, the diversity of the population gradually decreases and sometimes, the algorithm is not able to escape from the local optima. To enhance the performance of GWO, an improved GWO algorithm called Condition-based Gray Wolf Optimization (Cb-GWO) algorithm is proposed in this study. In Cb-GWO, the exploration phase has been separated from the exploitation one and also some mechanisms have been considered to achieve better positions per iteration. Moreover, the balance between exploration and exploitation has been improved. The performance of proposed algorithm has been compared with several improved GWO algorithms, as well as Particle Swarm Optimization (PSO), Spotted Hyena Optimizer (SHO), Harris Hawk Optimization (HHO), Wild Horse Optimizer (WHO), Aquila Optimizer (AO), African Vultures Optimization Algorithm (AVOA), which are among the newest meta-heuristic algorithms. These algorithms have been evaluated by CEC2018 benchmark optimization functions and the pressure vessel design to find the best results. The experimental results showed the significant improvement of efficiency of the proposed algorithm compared with other competitor algorithms.

**Keywords-** Meta-heuristic Algorithm, Gray Wolf Optimizer (GWO), Exploration, Exploitation, Local Optimum, Global Optimum.

## الگوريتم بهبود يافته گرگ خاکستری مبتنی بر شرایط برای حل مسائل بهينه سازی سراسری

صفورا اخوان نسب<sup>۱</sup>، زهرا بهشتی<sup>۲\*و۳</sup>

۱- دانشکده مهندسی کامپیوتر، واحد نجف آباد، دانشگاه آزاد اسلامی، نجف آباد، ایران.

۲- دانشکده مهندسی کامپیوتر، واحد نجف آباد، دانشگاه آزاد اسلامی، نجف آباد، ایران.

۳- مرکز تحقیقات کلان داده، واحد نجف آباد، دانشگاه آزاد اسلامی، نجف آباد، ایران.

<sup>۱</sup>s-akhavan@sco.iaun.ac.ir, <sup>2,3\*</sup>z-beheshti@iaun.ac.ir

\* نشانی نويسنده مسئول: زهرا بهشتی، نجف آباد، بلوار دانشگاه، واحد نجف آباد، دانشگاه آزاد اسلامی، دانشکده مهندسی کامپیوتر.

چكیده- بسياري از مسائل بهينه سازی دنياي واقعي، مسائل پيچيده با ابعاد بالا هستند که با افزایش ابعاد، فضای جواب به صورت نمایي افزایش می یابد. از اين رو الگوريتم های دقیق که تمام فضای مسائله را برای یافتن جواب پیمایش می کنند، در زمان قابل قبولی نمی توانند به جواب دست یابند و از الگوريتم های تقریبی برای حل اين مسائل استفاده می شوند. از دسته اين الگوريتم ها، می توان به الگوريتم های فرآيتکاري اشاره کرد که نشان داده اند کارايی خوبی دارند. الگوريتم بهينه سازی گرگ خاکستری از جمله اين الگوريتم ها است. اما ساختار الگوريتم، توانايی اكتشاف آن را برای حل مسائل پيچيده با ابعاد بالا محدود می کند و در اواسط اجرای الگوريتم ممکن است به دام بهينه های محلی گرفتار گردد. در اين حالت به تدریج تنوع جمعیت کم می گردد و در برخی موارد قادر به فرار از اين بهينه های محلی نیست و دچار همگرایی زودرس می گردد. از اين رو، در اين تحقیق، نسخه بهبود یافته ای از الگوريتم گرگ خاکستری به نام الگوريتم بهينه سازی گرگ خاکستری مبتنی بر شرایط ارائه می گردد، که با جداسازی مرحله اكتشاف از بهره برداری و فراهم آوردن امكان فرار از بهينه های محلی در هر تكرار، همچنین بهبود توازن بين اكتشاف و بهره برداری، راه حل های جدیدی ارائه می دهد که در صورت بهتر بودن جايگزين راه حل های قبلی می شوند. الگوريتم پيشنهادي با چند نسخه از الگوريتم های بهبود یافته گرگ خاکستری، همچنین الگوريتم های بهينه سازی از دحام ذرات، كفتار خالدار، شاهين هريس، اسب وحشی، عقب و كركس آفریقایي که از جمله الگوريتم های فرآيتکاري بسيار جديд هستند، برای یافتن نقاط بهينه در توابع بهينه سازی CEC2018 و پارامترهای مسائله مهندسي طراحی مخزن فشار مقایسه شده است. نتایج ارزیابی، حاکی از بهبود قابل توجه نتایج الگوريتم پيشنهادي نسبت به سایر الگوريتم های مورد مقایسه است.

واژه های کلیدی: الگوريتم های فرآيتکاري، الگوريتم بهينه سازی گرگ خاکستری، اكتشاف، بهره برداری، بهينه محلی، بهينه سراسری.

مسائله، زمان اجرای آنها به صورت نمایي افزایش می یابد. از اين رو

از الگوريتم های تقریبی در حل اين مسائل استفاده می شود. از

جمله اين الگوريتم ها، الگوريتم های فرآيتکاري هستند که می توانند

راه حل های خوبی را در زمان قابل قبولی هم در مسائل پيوسته

[۱]-[۳] و هم در مسائل ناپيوسته [۴]-[۶] ارائه دهند. الگوريتم

بهينه سازی گرگ خاکستری<sup>۲</sup> [۷]، يکی از الگوريتم های فرآيتکاري

۱- مقدمه

بسياري از مسائل بهينه سازی دنياي واقعي، مسائل پيچيده با ابعاد

بالا هستند که در دسته مسائل سخت<sup>۱</sup> قرار دارند. برای حل اين

مسائل الگوريتم های دقیق که جواب بهينه را برمی گردازد، قادر به

یافتن جواب در زمان قابل قبولی نیستند زيرا با افزایش ابعاد

فرآیند انفجار آتش بازی تقلید می‌کند)، الگوریتم ازدحام ذرات [۲۱]، و یا الگوریتم فاخته [۲۲] ترکیب شده است. هر چند که این الگوریتم‌ها سعی در بهبود کارایی الگوریتم گرگ خاکستری داشته‌اند ولی هنوز عملکرد این الگوریتم می‌تواند بهبود یابد. برخی از نسخه‌های بهبود یافته الگوریتم گرگ هنوز عملکرد ضعیفی در حل مسائل از خود نشان می‌دهند [۱۶]. بنابراین، در این تحقیق، الگوریتم بهبود یافته‌ای از گرگ خاکستری به نام الگوریتم بهینه سازی گرگ خاکستری مبتنی بر شرایط ارائه می‌گردد که در آن قابلیت اکتشاف الگوریتم بهبود می‌یابد و در هر مرحله پس از به دست آمدن راه حل‌ها، امکان بهبود راه حل‌ها مجددًا بررسی می‌گردد تا امکان فرار از بهینه‌های محلی و یا موقعیت‌های بد فراهم گردد. پس از مرحله اکتشاف، با استفاده از یک ضریب کاهشی الگوریتم به تدریج وارد مرحله بهره‌برداری می‌گردد و در مراحل پیانی قابلیت بهره‌برداری افزایش می‌یابد تا با توجه به راه حل‌های خوب به دست آمده، بهترین نتیجه استخراج گردد. از این رو، الگوریتم پیشنهادی توازن بین اکتشاف و بهره‌برداری را نیز بهبود می‌دهد.

در ادامه، در بخش دوم، پژوهش‌های انجام شده در زمینه الگوریتم بهینه‌سازی گرگ خاکستری بررسی می‌گردد. در بخش سوم روش پیشنهادی ارائه می‌گردد و در بخش چهارم ارزیابی عملکرد روش پیشنهادی با چند الگوریتم جدید بهبود یافته از الگوریتم گرگ و الگوریتم‌های فرالبتکاری پایه و جدید مقایسه می‌گردد. در بخش ۵ نیز به نتیجه گیری و پیشنهادهای کل‌های آتی پرداخته می‌شود.

## ۲- مروری بر پژوهش‌های انجام شده در زمینه الگوریتم بهینه‌سازی گرگ خاکستری

### ۲-۱ الگوریتم بهینه‌سازی گرگ خاکستری

الگوریتم بهینه‌سازی گرگ خاکستری، برمبنای رفتار شکار گرگ‌های خاکستری و سلسله مراتب رهبری در روش شکار آن‌ها ارائه شده است. هدف، یافتن جواب قابل قبول، با توجه به محدودیت و نیاز مسئله است. در تعیین جواب یک مسئله، ممکن است جواب‌های مختلفی برای آن وجود داشته باشد. برای مقایسه جواب‌های یک مسئله و انتخاب جواب بهینه، تابعی به نام تابع هدف تعریف می‌شود که به ماهیت مسئله وابسته است. در این الگوریتم، چهار نوع گرگ خاکستری به نام گرگ‌های آلفا، بتا، دلتا و گاما وجود دارد. این الگوریتم شامل سه گام اصلی شکار گرگ‌های خاکستری می‌باشد [۷] که عبارتند از: جستجو برای شکار، محاصره شکار و درنهایت حمله به شکار. در این الگوریتم، ابتدا موقعیت هر گرگ در فضای مسئله به صورت تصادفی مقداردهی

است که به دلیل سادگی پیاده‌سازی و تعداد پارامترهای کم، بسیار مورد توجه محققان قرار گرفته است [۸]-[۱۰]. اگرچه نتایج تجربی نشان می‌دهد که الگوریتم گرگ خاکستری از برخی از الگوریتم‌های فرالبتکاری در حل مسائل پیشی می‌گیرد [۱۱]-[۱۳]، اما ساختار الگوریتم، توانایی اکتشاف آن را برای حل مسائل پیچیده با ابعاد بالا محدود می‌کند و در این مسائل الگوریتم در اواسط اجرای ممکن است به دام بهینه‌های محلی گرفتار گردد [۱۴]-[۱۳]. در این حالت به تدریج تنوع جمعیت کم می‌شود و الگوریتم در برخی موارد قادر به فرار از این بهینه‌های محلی نیست. دلیل این مسئله آن است که در الگوریتم گرگ خاکستری، گرگ‌ها به سمت سه گرگ برتر جمعیت حرکت می‌کنند. اگر سه گرگ بهتر که به نام‌های آلفا، بتا و دلتا شناخته می‌شوند در بهینه محلی قرار داشته باشند، جمعیت گرگ‌ها به تدریج به سمت آن بهینه محلی کشیده شده و به دلیل ضریبی که برای همگرایی در این الگوریتم در نظر گرفته شده، در نهایت در تله بهینه محلی گرفتار می‌آید [۱۶].

تاکنون تعدادی الگوریتم بهبود یافته از گرگ خاکستری ارائه کرده‌اند تا قابلیت اکتشاف، توازن بین اکتشاف و بهره‌برداری و یا تنوع جمعیت را در این الگوریتم بهبود بخشنده. به عنوان مثال، لی و همکاران [۱۷]، الگوریتمی ارائه کردند که به طور مساوی جمعیت اولیه گرگ خاکستری را در فضای مسئله توزیع کند و از جهش گاووسی برای جلوگیری از افتادن الگوریتم در بهینه‌های محلی استفاده می‌کند. همچنین الگوریتم از یک عامل کنترل کسینوسی برای ایجاد توازن بین قابلیت اکتشاف سراسری و محلی الگوریتم در جهت بهبود سرعت همگرایی الگوریتم استفاده می‌کند. در پژوهشی دیگر، برای بهبود کارایی الگوریتم، از نقشه‌های آشوبی در الگوریتم گرگ (CGWO)<sup>۲</sup> استفاده شد [۱۸]. در تحقیقی دیگر، یک الگوریتم برای بهبود قابلیت اکتشاف الگوریتم گرگ خاکستری (EEGWO)<sup>۳</sup>، از یک همسایه تصادفی در جمعیت برای تغییر موقعیت هر گرگ استفاده شد و ضریب همگرایی در آن، به صورت غیر خطی تعریف شد. الگوریتم بهبود یافته دیگری (EGWO)<sup>۴</sup> توسط لو، برای تقلید بهتر از سلسله مراتب رهبری و روش شکار گروهی گرگ‌های خاکستری در طبیعت ارائه شد [۱۵] که با تخمین محل شکار توسط گرگ‌های رهبر، هر گرگ مستقیماً به سمت محل تخمینی شکار حرکت می‌کند. در این الگوریتم، وزن گرگ آلفا در تغییر موقعیت هر گرگ بیشتر در نظر گرفته می‌شود، تا قابلیت بهره‌وری نیز افزایش یابد. در پژوهش‌های دیگری برای بهبود عملکرد الگوریتم گرگ، این الگوریتم با الگوریتم‌هایی مانند الگوریتم آتش بازی [۲۰] (که از

## ۲-۲-الگوریتم‌های بهبود یافته گرگ خاکستری

میتال و همکاران [۲۳]، الگوریتم گرگ خاکستری اصلاح شده‌ای<sup>۷</sup> ارائه کردند که در حل مسائل مهندسی به کار برد. در الگوریتم پیشنهادی، از یک تابع نزولی نمایی جهت توازن بین اکتشاف و بهره‌برداری استفاده شد. اما همچنان الگوریتم پیشنهادی در اکتشاف ضعیف می‌باشد و به دلیل کاهش تنوع جمعیت گرگ‌ها در طول اجرای الگوریتم، عملکرد مورد انتظار را ندارد.

در تحقیقی دیگر، جایباراتهی و همکاران الگوریتم بهینه‌سازی ترکیبی از گرگ خاکستری<sup>۸</sup> ارائه نمودند [۲۴]، که در آن الگوریتم گرگ خاکستری با عملکردهای ترکیب و جهش اضافی ترکیب شد. این الگوریتم در مسئله پخش بار اقتصادی، که یکی از مسائل مهم در بهره‌برداری از سیستم‌های قدرت است، مورد استفاده قرار گرفت. اگرچه با اضافه کردن عملکردهای ترکیب و جهش، تنوع جمعیت بهتر شد، اما به دلیل عدم توازن بین اکتشاف و بهره‌برداری در برخی موارد راه حل‌های مناسبی ارائه نمی‌دهد.

پادهی و همکاران [۲۵]، الگوریتم بهینه‌سازی اصلاح شده‌ای از گرگ خاکستری<sup>۹</sup> ارائه دادند که در آن ضریب وزنی متفاوتی به گرگ‌ها تخصیص می‌یافت و ضریب وزنی گرگ آلفا بیشتر می‌باشد. همچنین ضریب همگرایی جدیدی برای توازن بین اکتشاف و بهره‌برداری تعریف شد تا عملکرد الگوریتم بهبود یابد. ولی از آنجا که گرگ‌ها همچنان دنباله‌رو سه گرگ برتر هستند، به دام بهینه‌های محلی گرفتار می‌آیند.

در پژوهشی دیگر [۲۶]، ترکیبی از الگوریتم گرگ خاکستری و الگوریتم سینوس و کسینوسی ارائه شد که در آن از الگوریتم گرگ برای مرحله بهره‌برداری و الگوریتم سینوس و کسینوس<sup>۱۰</sup> برای اکتشاف و تغییر موقعیت گرگ آلفا می‌شد. الگوریتم پیشنهادی در توابع تک حالته نتایج خوبی را ارائه نمی‌دهد و از بهره‌برداری ضعیفی برخوردار است. لانگ و همکاران [۲۷]، الگوریتم بهبود یافته‌ای از گرگ خاکستری برای بهبود قابلیت اکتشاف<sup>۱۱</sup> الگوریتم ارائه کردند که از الگوریتم بهینه‌سازی ذرات<sup>۱۲</sup> الهام می‌گرفت. محققین دیگری نیز برای بهبود قابلیت اکتشاف الگوریتم گرگ، این الگوریتم را با الگوریتم‌های دیگری از قبیل الگوریتم آتش بازی [۲۰]، الگوریتم بهینه‌سازی ازدحام ذرات [۲۱] و الگوریتم فاخته [۲۲] ترکیب کردند ولی این الگوریتم‌ها خود دارای معایبی هستند که روی الگوریتم ترکیبی تاثیر می‌گذارند. به عنوان مثال الگوریتم بهینه‌سازی ازدحام ذرات دارای اکتشاف ضعیفی است و دچار همگرایی زودرس می‌گردد.

اولیه می‌گردد. این گرگ‌ها، گرگ‌های امگا هستند که از بین آنها، سه گرگ برتر جمعیت براساس تابع برازنده‌گی به عنوان گرگ آلفا و بتا و دلتا مشخص می‌گردد. گرگ‌های خاکستری، طعمه (بهترین جواب) را در طول شکار محاصره می‌کنند. فرض می‌شود که سه گرگ برتر دانش بهتری در خصوص موقعیت شکار (بهترین جواب) دارند. این محاصره براساس رابطه زیر است:

$$\vec{X}(t+1) = \vec{X}_p(t) + \vec{A} \cdot \vec{D} \quad (1)$$

$$\vec{D} = |\vec{C} \cdot (\vec{X}_p(t) - \vec{X}(t))| \quad (2)$$

که  $\vec{X}_p$  بردار موقعیت فعلی شکار،  $\vec{X}$  موقعیت هر گرگ خاکستری و  $t$  زمان فعلی را نشان می‌دهد. همچنین بردارهای ضریب  $\vec{A}$  و  $\vec{C}$  براساس روابط زیر، محاسبه می‌شوند:

$$\vec{A} = 2\vec{a} \cdot \vec{r}_1 - \vec{a} \quad (3)$$

$$\vec{C} = 2 \cdot \vec{r}_2 \quad (4)$$

$\vec{r}_1$  و  $\vec{r}_2$  نشان‌دهنده بردارهای تصادفی در بازه صفر و یک هستند. بردار خطی  $\vec{a}$  از ۲ شروع و در طول تکرار کاهش می‌یابد تا به صفر برسد. وقتی طعمه یا شکار توسط گرگ‌ها احاطه شد، حمله به رهبری گرگ آلفا شروع می‌شود که این فرآیند با استفاده از کاهش بردار  $\vec{a}$  شبیه‌سازی می‌شود. از آنجا که  $\vec{A}$  برداری تصادفی بر اساس  $\vec{a}$  است اگر  $|\vec{A}| < 1$  باشد، گرگ آلفا به شکار (و بقیه گرگ‌ها) نزدیک می‌شود و اگر  $|\vec{A}| > 1$  گرگ از شکار (و بقیه گرگ‌ها) دور خواهد شد. گرگ‌های خاکستری امگا، موقعیت خود را در فضای جستجوی به صورت تصادفی بر اساس موقعیت سه گرگ برتر آلفا و بتا و دلتا به صورت زیر تغییر می‌دهند:

$$\vec{D}_\alpha = |\vec{C}_1 \cdot \vec{X}_\alpha - \vec{X}|, \quad \vec{D}_\beta = |\vec{C}_2 \cdot \vec{X}_\beta - \vec{X}|, \quad \vec{D}_\delta = |\vec{C}_3 \cdot \vec{X}_\delta - \vec{X}| \quad (5)$$

$$\vec{X}_1 = \vec{X}_\alpha - \vec{A}_1 \cdot (\vec{D}_\alpha), \quad \vec{X}_2 = \vec{X}_\beta - \vec{A}_2 \cdot (\vec{D}_\beta), \quad \vec{X}_3 = \vec{X}_\delta - \vec{A}_3 \cdot (\vec{D}_\delta) \quad (6)$$

در روابط فوق،  $\vec{C}_1$ ،  $\vec{C}_2$  و  $\vec{C}_3$  و  $\vec{A}_1$ ،  $\vec{A}_2$  و  $\vec{A}_3$  بردارهای تصادفی هستند که براساس روابط (۳) و (۴) محاسبه می‌گردند. همچنین  $\vec{X}_\alpha$  و  $\vec{X}_\beta$  به ترتیب موقعیت گرگ‌های آلفا، بتا و دلتا را نشان می‌دهند،  $\vec{X}_1$ ،  $\vec{X}_2$  و  $\vec{X}_3$  موقعیت هر گرگ امگا براساس این سه گرگ برتر است. موقعیت جدید هر گرگ امگا،  $X(t+1)$  براساس رابطه زیر به دست می‌آید:

$$\overrightarrow{X(t+1)} = \frac{\vec{X}_1 + \vec{X}_2 + \vec{X}_3}{3} \quad (7)$$

بهینه‌سازی گرگ خاکستری<sup>۱۰</sup> [۳۳] ارائه شد که در آن، تاثیر گرگ دلتا در تغییر موقعیت گرگ‌های امگا حذف شد و پارامتر ضریب همگرایی آن به صورت غیرخطی در نظر گرفته شد. اگر چه سرعت اجرای الگوریتم بهبود یافته، اما الگوریتم همچنان از اکتشاف ضعیفی برخوردار است.

هر چند که نسخه‌های مختلف الگوریتم گرگ خاکستری، سعی در بهبود عملکرد الگوریتم گرگ خاکستری داشته‌اند، این نسخه‌ها دارای معایبی نیز می‌باشند. در جدول ۱، روش مورد استفاده این الگوریتم‌ها، در بهبود الگوریتم بهینه‌سازی گرگ و برخی از مزایا و معایب آنها آورده شده است.

### ۳- روش پیشنهادی-الگوریتم بهینه‌سازی گرگ خاکستری مبتنی بر شرایط

الگوریتم بهینه‌سازی گرگ خاکستری یکی از الگوریتم‌های فراتکاری است که به دلیل سادگی پیاده سازی و تعداد پارامترهای کم، بسیار مورد توجه محققان قرار گرفته است. اگرچه نتایج تجربی ثابت می‌کند که الگوریتم گرگ خاکستری از برخی از الگوریتم‌های فراتکاری در حل مسائل پیشی می‌گیرد، اما ساختار الگوریتم، توانایی اکتشاف آن را برای حل مسائل پیچیده با بعد بالا تضعیف می‌کند و در این مسائل در اواسط اجرای الگوریتم ممکن است به دام بهینه‌های محلی گرفتار گردد. در این حالت به تدریج نوع جمعیت کم می‌گردد و در برخی موارد الگوریتم دچار همگرایی زودرس می‌گردد.

از این رو، در این بخش الگوریتم بهبود یافته‌ای از گرگ خاکستری به نام الگوریتم بهینه سازی گرگ خاکستری مبتنی بر شرایط ارائه می‌گردد که سعی در بهبود قابلیت اکتشاف الگوریتم گرگ خاکستری دارد و امکان فرار از بهینه‌های محلی را برای گرگ‌ها فراهم می‌آورد. همچنانی با توازن بین مرحله اکتشاف و بهره‌برداری پاسخ‌های بهتری بهدست می‌آید. در الگوریتم پیشنهادی، ابتدا موقعیت گرگ‌ها به صورت تصادفی مقدار دهی اولیه می‌گردد، سپس سه گرگ بهتر جمعیت به نام‌های آلفا و بتا و دلتا انتخاب می‌گردد:

$$\begin{aligned} Pos_{ij} &= X_{min} + rand(X_{max} - X_{min}) \\ i &= 1, 2, \dots, n \quad j = 1, 2, \dots, D \end{aligned} \quad (8)$$

$Pos_{ij}$ ، موقعیت نامین گرگ در زمین بعد.  $rand$  یک عدد تصادفی با توزیع یکنواخت در بازه  $[0, 1]$  است.  $X_{min}$  و  $X_{max}$  حد پایین و حد بالای محدوده مسئله هستند.  $n$  و  $D$  به ترتیب اندازه جمعیت و تعداد بعد می‌باشد.

یک الگوریتم بهینه‌سازی هوشمند گرگ خاکستری<sup>۱۳</sup> توسط ساکسنا و همکاران پیشنهاد شد [۲۸] که از دو چارچوب ریاضی برای بهبود اکتشاف و بهره‌برداری و همچنین از یادگیری مبتنی بر تعارض<sup>۱۴</sup> برای بهبود اکتشاف استفاده می‌کرد، اما الگوریتم در برخی موارد دچار همگرایی زودرس می‌گردد.

برای خوشبندی مجموعه داده‌های بزرگ، یک الگوریتم بهبود یافته از گرگ خاکستری<sup>۱۵</sup> پیشنهاد شد [۲۹] که در آن الگوریتم گرگ خاکستری از پرواز لوی<sup>۱۶</sup> و عملگر ترکیب برای افزایش قابلیت اکتشاف استفاده می‌کند ولی همچنان توازن بین اکتشاف و بهره‌برداری آن ضعیف است و در برخی موارد در بهینه‌های محلی گرفتار می‌آید.

لو و همکاران [۳۰] الگوریتم بهبود یافته سلولی گرگ خاکستری<sup>۱۷</sup> را ارائه نمودند که در مرحله اول، هر گرگ از همسایگان خود و تعاملات بین آنها بهره می‌برد و در مرحله بعد، از انتشار اطلاعات از طریق همسایگان استفاده می‌کند. در تحقیقی دیگر، یک الگوریتم برای بهبود قابلیت اکتشاف الگوریتم گرگ خاکستری [۱۹] با استفاده از یک همسایه تصادفی در جمعیت برای تغییر موقعیت هر گرگ استفاده شد و برای توازن بین اکتشاف و بهره‌برداری، از یک پارامتر کنترل غیر خطی استفاده شد. الگوریتم نتایج بسیار ضعیفی را در مقایسه با سایر الگوریتم‌های بهبود یافته گرگ خاکستری در برخی از خود نشان می‌دهد [۳۱].

یک الگوریتم بهینه‌سازی گرگ خاکستری مبتنی بر پیاده‌روی تصادفی<sup>۱۸</sup> پیشنهاد شد [۳۲] که از توزیع کوشی<sup>۱۹</sup> برای بهبود قابلیت اکتشاف استفاده می‌کند اما همچنان دارای اکتشاف ضعیفی است. ندیمی و همکاران یک الگوریتم بهبود یافته از گرگ خاکستری<sup>۲۰</sup> [۱۳] ارائه کردند که از جستجوی شکار مبتنی بر یادگیری ابعادی استفاده می‌کند و در آن اطلاعات همسایگان بین گرگ‌ها به اشتراک گذاشته می‌شود. اگر چه در این روش توازن بین جستجوی محلی و سراسری، همچنان نوع جمعیت بهبود می‌یابد، اما پیچیدگی الگوریتم و زمان اجرای آن افزایش می‌یابد.

در پژوهش دیگری، لی و همکاران [۱۷]، از جهش گاووسی برای جلوگیری از افتادن الگوریتم گرگ در بهینه‌های محلی استفاده کردند و یک عامل کنترل کسینوسی برای ایجاد توازن بین قابلیت اکتشاف سراسری و محلی الگوریتم در جهت بهبود سرعت همگرایی الگوریتم به کار برند. در نسخه دیگری از الگوریتم گرگ، از نقشه‌های آشوبی در بهبود نوع جمعیت الگوریتم گرگ استفاده شد [۱۸]. در پژوهشی دیگر، الگوریتمی به نام الگوریتم تلفیقی

جدول ۱: برخی از نسخه‌های بهبود یافته الگوریتم بهینه‌سازی گرگ خاکستری

الگوریتم	روش مورد استفاده	مزایا	معایب
GWO [۷]	<ul style="list-style-type: none"> <li>استفاده از سه گرگ برتر جمعیت به عنوان رهبر</li> <li>تعیین موقعیت جدید جمعیت براساس موقعیت سه گرگ</li> </ul>	<ul style="list-style-type: none"> <li>سادگی الگوریتم</li> <li>سرعت اجرای بالا</li> <li>تعداد پارامتر کم</li> </ul>	<ul style="list-style-type: none"> <li>اکتشاف ضعیف</li> <li>همگرایی زودرس</li> </ul>
I-GWO [۱۴]	<ul style="list-style-type: none"> <li>استفاده از یک راهبرد حرکتی مبتنی بر یادگیری ابعادی و اشتراک اطلاعات همسایه بین گرگ‌ها</li> </ul>	<ul style="list-style-type: none"> <li>بهبود قابلیت اکتشاف</li> <li>بهبود توازن بین جستجوی محلی و سراسری</li> </ul>	<ul style="list-style-type: none"> <li>پیچیدگی بالا</li> <li>زمان اجرای بالا</li> </ul>
EGWO [۱۵]	<ul style="list-style-type: none"> <li>استفاده از ضریب وزنی تصادفی نرمال برای گرگ برتر با در نظر گرفتن وزن بیشتر برای گرگ آلفا</li> <li>تعريف ضریب همگرایی</li> </ul>	<ul style="list-style-type: none"> <li>بهبود قابلیت اکتشاف</li> <li>بهبود قابلیت بهره‌برداری</li> </ul>	<ul style="list-style-type: none"> <li>ضعف در توازن بین اکتشاف و بهره‌برداری</li> <li>تعداد پارامترهای زیاد</li> </ul>
CGWO [۱۸]	<ul style="list-style-type: none"> <li>استفاده از نقشه‌های آشوبی</li> </ul>	<ul style="list-style-type: none"> <li>بهبود قابلیت اکتشاف در مسائلی با توابع هدف تک حالته</li> </ul>	<ul style="list-style-type: none"> <li>متوقف شدن در بهینه‌های محلی در مسائل چند حالته</li> <li>همگرایی زودرس</li> </ul>
EEGWO [۱۹]	<ul style="list-style-type: none"> <li>انتخاب یک همسایه تصادفی و استفاده از آن در تعیین موقعیت جدید جمعیت</li> </ul>	<ul style="list-style-type: none"> <li>استفاده از اطلاعات سایر همسایگان در تغییر موقعیت</li> </ul>	<ul style="list-style-type: none"> <li>اکتشاف ضعیف</li> <li>متوقف شدن در بهینه‌های محلی همگرایی زودرس</li> </ul>
HGWO [۲۳]	<ul style="list-style-type: none"> <li>استفاده از عملگرهای ترکیب و جهش روی راه حل‌ها</li> </ul>	<ul style="list-style-type: none"> <li>بهبود نوع جمعیت</li> <li>بهبود قابلیت اکتشاف</li> </ul>	<ul style="list-style-type: none"> <li>ضعف در توازن بین اکتشاف و بهره‌برداری</li> </ul>
GWO-SCA [۲۸]	<ul style="list-style-type: none"> <li>استفاده از الگوریتم گرگ برای مرحله بهره‌برداری</li> <li>استفاده از الگوریتم سینوس و کسینوس برای مرحله اکتشاف و تغییر موقعیت گرگ آلفا</li> </ul>	<ul style="list-style-type: none"> <li>همگرایی زودرس</li> <li>ضعف در توازن بین اکتشاف و بهره‌برداری</li> </ul>	
E-GWO [۲۹]	<ul style="list-style-type: none"> <li>استفاده از پرواز لوی برای اکتشاف</li> <li>استفاده از عملگر ترکیب روی راه حل‌ها</li> </ul>	<ul style="list-style-type: none"> <li>بهبود قابلیت اکتشاف</li> </ul>	<ul style="list-style-type: none"> <li>اکتشاف ضعیف</li> <li>همگرایی زودرس</li> </ul>
C-GWO [۳۰]	<ul style="list-style-type: none"> <li>استفاده از تعاملات محلی بین همسایگان</li> <li>انتشار اطلاعات از طریق همسایگان</li> </ul>	<ul style="list-style-type: none"> <li>بهبود جستجوی محلی</li> </ul>	<ul style="list-style-type: none"> <li>اکتشاف ضعیف</li> <li>همگرایی زودرس</li> </ul>
RWGWO [۳۲]	<ul style="list-style-type: none"> <li>مبتنی بر پیاده‌روی تصادفی</li> <li>استفاده از توزیع کوشی برای اکتشاف</li> </ul>	<ul style="list-style-type: none"> <li>بهبود نوع جمعیت</li> </ul>	<ul style="list-style-type: none"> <li>همگرایی زودرس</li> <li>متوقف شدن در بهینه‌های محلی</li> </ul>
AGWO [۳۳]	<ul style="list-style-type: none"> <li>حذف گرگ دلتا</li> <li>استفاده از ضریب همگرایی غیرخطی</li> </ul>	<ul style="list-style-type: none"> <li>بهبود سرعت اجرا</li> </ul>	<ul style="list-style-type: none"> <li>اکتشاف ضعیف</li> <li>همگرایی زودرس</li> </ul>

$$Ind = 1..Max\_Iter$$

$$CC[1..Max\_Iter] = 1 - \frac{Ind}{Max\_Iter} \quad (9)$$

برای داشتن راه حل‌های امیدبخش در الگوریتم پیشنهادی سه مرحله در نظر گرفته شده است: مرحله اول اکتشاف است که باید فضای مسئله، خوب جستجو شود، در الگوریتم پیشنهادی تا

برای توازن بین اکتشاف و بهره‌برداری در الگوریتم پیشنهادی، از پارامتر ضریب همگرایی <sup>۲۲</sup> (CC) استفاده می‌شود. این پارامتر با حداقل تعداد تکرار (Max\_Iter) تنظیم می‌گردد و از یک شروع می‌گردد و به صورت خطی با تکرارها (Iter) کاهش می‌یابد تا به صفر برسد و از رابطه (۹) محاسبه می‌گردد:

جمعیت اطراف گرگ آلفا که بهترین گرگ جمعیت است، جستجو می‌کنند و نصف دیگر جمعیت گرگ‌ها با کمک گرگ بتا، جستجوی محلی را انجام می‌دهند. در اینجا گرگ دلتا نقشی ندارد، به دلیل آن که از اکتشاف به سمت بهره‌برداری بایستی حرکت انجام شود، در این مرحله، دو گرگ بهتر (آلفا و بتا) در نظر گرفته می‌شود. پارامتر  $CC$  در تکرارهای متوالی رو به کاهش است و وقتی بسیار کوچک می‌شود به بهره‌برداری نزدیک می‌گردد. در این حالت، در رابطه (۱۳)، گرگ‌ها به سمت بهترین موقعیت (گرگ آلفا) نزدیک می‌گردند و گرگ‌هایی که اطراف بهترین پاسخ می‌باشد، موقعیت‌شان به تدریج با گرگ آلفا یکی می‌گردد که مرحله بهره‌برداری می‌باشد. همچنین در این مرحله گرگ بتا به تدریج به گرگ آلفا بسیار نزدیک می‌گردد تا آن که موقعیت آن با موقعیت گرگ آلفا یکی شود. بنابراین در رابطه (۱۲) نیز، گرگ‌ها به تدریج به سمت بهترین گرگ حرکت می‌کنند. سرانجام، در هر تکرار راه حل‌ها در صورت بهتر شدن، جایگزین راه حل‌های قبلی می‌گردند.

Pseudocode of Condition-based Gray Wolf Optimizer (Cb-GWO)	
1.	<b>Input:</b> $Max\_Iter$ , $n$ , $D$ , $X_{min}$ , $X_{max}$
2.	<b>Output:</b> $Alpha$
3.	Initializing grey wolf positions: $Pos_i$ ( $i=1,2,\dots,n$ )
4.	Computing $CC$ by Eq. (9)
5.	<b>For</b> $Iter=1$ <b>to</b> $Max\_Iter$ <b>Do</b>
6.	Calculating fitness functions of population
7.	Replacing new positions, If new fitness functions are better than the previous ones
8.	Selecting three best of population as $Alpha$ , $Beta$ , $Delta$
9.	<b>If</b> $CC(Iter) \geq 0.7$ <b>Then</b>
10.	Computing positions by Eq. (10)
11.	<b>Else</b>
12.	Dividing the population into two sub-populations:
13.	<b>For</b> $i=1$ <b>to</b> $n/2$ <b>Do</b>
14.	Computing positions by Eq. (12)
15.	<b>End For</b>
16.	<b>For</b> $i=n/2+1$ <b>to</b> $n$ <b>Do</b>
17.	Computing positions by Eq. (13)
18.	<b>End For</b>
19.	<b>End If</b>
20.	Calculating fitness functions of population
21.	Replacing new positions, If new fitness functions are better than the previous ones
22.	Selecting three best of population as $Alpha$ , $Beta$ , $Delta$
23.	Computing Positions by Eq. (14)
24.	<b>End For</b>
25.	<b>Return</b> $Alpha$

شکل ۱: شبه کد الگوریتم بهینه‌سازی گرگ خاکستری مبتنی بر موقعیت

هنگامی که مقدار پارامتر  $CC$  از ۰.۷ به ۰.۰ برسد گرگ‌ها به اکتشاف می‌پردازند. سپس گرگ‌ها، از اکتشاف به تدریج به سمت بهره‌برداری حرکت می‌کنند و در مراحل پایانی الگوریتم، بهره‌برداری انجام می‌شود. بنابراین، مقدار پارامتر  $CC$ ، به تدریج کم می‌شود تا الگوریتم از سمت اکتشاف به سمت بهره‌برداری حرکت کند و در مراحل پایان، این پارامتر به سمت صفر می‌کند تا راه حل‌های خوب به دست آیند. در شکل (۱) شبه کد روش پیشنهادی نشان داده شده است. گرگ‌ها در مرحله اکتشاف مطابق رابطه زیر تغییر موقعیت می‌دهند:

$$Pos_{ij} = Pos_{ij} + rand \left( randn(Alpha_{Pos_j} - randn.Pos_{ij}) - randn(MPBD_j - randn.Pos_{ij}) \right) \quad (10)$$

که در آن  $randn$  یک عدد تصادفی با توزیع نرمال و میانگین صفر و واریانس یک است.  $Alpha_{Pos_j}$  موقعیت گرگ آلفا در بعد زام است.  $MPBD_j$  میانگین موقعیت گرگ بتا ( $Beta_{Pos_j}$ ) و دلتا ( $Delta_{Pos_j}$ ) در موقعیت زام است و از رابطه زیر به دست می‌آید:

$$MPBD_j = \frac{(Beta_{Pos_j} + Delta_{Pos_j})}{2} \quad (11)$$

همان طور که از رابطه (۱۰) مشخص است، گرگ‌ها در این مرحله به اکتشاف اطراف خود مشغول هستند ولی این اکتشاف با توجه به موقعیت خود گرگ و سه گرگ برتر گروه است اما تاثیر این سه گرگ برتر بسیار ناچیز است.

بعد از مرحله اکتشاف، الگوریتم‌های فرالبتکاری به تدریج، به سمت بهره‌برداری حرکت می‌کنند و در مرحله سوم وارد مرحله بهره‌برداری می‌گردند. از این رو با توجه به مقدار  $CC$ ، هنگامی که مقدار آن از ۰.۷ کمتر است مرحله دوم آغاز می‌شود. در این حالت جمعیت به دو گروه تقسیم می‌شود و دو حرکت مختلف براساس روابط زیر انجام می‌دهند:

$$Pos_{ij} = Pos_{ij} + CC(Iter).rand \left( randn(Beta_{Pos_j} - randn.Pos_{ij}) \right), i = 1, 2, \dots, \frac{n}{2} \quad (12)$$

$$Pos_{ij} = Alpha_{Pos_j} + CC(Iter) \left( randn(Alpha_{Pos_j} - randn.Pos_{ij}) \right), i = \frac{n}{2} + 1, \dots, n \quad (13)$$

$CC(Iter)$  مقدار ضریب همگرایی در تکرار فعلی است. با توجه به روابط فوق، همان طور که مشخص شده است، نصف

کارایی الگوریتم‌های پیشنهادی بر روی این توابع با چند نسخه از الگوریتم بهبود یافته گرگ شامل AGWO [۳۳]، EEGWO [۱۹]، EGWO [۱۵] و I-GWO [۱۶] مقایسه می‌گردد. همچنین الگوریتم پیشنهادی با الگوریتم‌های فرالبتکاری جدید و پایه شامل الگوریتم بهینه‌سازی ازدحام ذرات [۳۷]، الگوریتم عقاب [۳۸]، الگوریتم بهینه سازی کرکس آفریقایی [۳۹]، الگوریتم بهینه‌سازی شاهین هربیس [۴۰]، الگوریتم بهینه‌سازی کفتار خالدار [۴۱]، الگوریتم بهینه‌سازی اسب‌های وحشی [۴۲] مقایسه می‌گردد. پارامترهای الگوریتم‌های مورد مقایسه با توجه به مراجع آنها در جدول ۲ مقدار دهی و استفاده می‌گردد.

جدول ۲: الگوریتم‌های مورد مقایسه و پارامترهای آنها

Algorithm	Parameters
GWO	$a=[2 \text{ to } 0]$
EEGWO	$b_1 = 0.1, b_2 = 0.9, mo = 1.5, a_{initial} = 2, a_{final} = 0$
PSO	$C_1=C_2=2, w=0.9-0.4$
AO	$\alpha = 0.1, \delta = 0.1, \omega = 0.005, \varphi_1 = \frac{3\pi}{2}, u = 0.0265, r_0 = 10$
AVOA	$p_1=0.6, p_2=0.4, p_3=0.6, \alpha = 0.8, \beta = 0.2, \gamma = 2.5$
HHO	$\beta = 1.5$
WHO	$PS=0.2, PC=0.13$

نتایج ارزیابی الگوریتم پیشنهادی با بعد ۱۰ و بعد ۳۰ در مقایسه با الگوریتم‌های بهبود یافته گرگ خاکستری، ۲۰ بار اجرای مسقل الگوریتم‌ها در جدول ۳ آمده است. در این جدول میانگین خطای بهترین جواب (کمترین خطای) و انحراف معیار برای الگوریتم‌ها محاسبه می‌گردد. تعداد جمعیت برای هر دو بعد ۱۰۰ در نظر گرفته شده است و تعداد تکرار برای بعد ۱۰، ۱۰۰۰ و برای بعد ۳۰۰۰ در نظر گرفته شده است [۱۶].

در توابع شماره ۱ و ۳ که قابلیت بهره برداری و سرعت دستیابی به جواب مورد ارزیابی قرار می‌گیرند، الگوریتم پیشنهادی خطای بسیار کمی دارد. این بدين دلیل است که الگوریتم به خوبی فضای مسئله را پیمایش کرده و بهره برداری خوبی دارد. در این توابع نتایج سایر الگوریتم‌های مورد مقایسه بسیار ضعیف است، الگوریتم EGWO گرچه در تابع ۱ نتایج خوبی را در دو بعد ۱۰ و ۳۰ نشان نمی‌دهد، اما در تابع ۳ نتایج خوبی را در هر دو بعد دارد. در این توابع، الگوریتم EEGWO عملکرد بسیار ضعیفی نسبت به سایر نسخه‌های الگوریتم‌های گرگ خاکستری از خود نشان می‌دهد، زیرا این الگوریتم قابلیت اکتشاف و بهره برداری ضعیفی دارد.

با استفاده از توابع شماره ۴ تا ۱۰ عملکرد الگوریتم پیشنهادی، برای قابلیت اکتشاف مورد بررسی قرار می‌گیرد. با توجه به نتایج به دست آمده، الگوریتم پیشنهادی در این توابع خطای کمتری در

در هر دور تکرار برای جلوگیری از رکود در بهینه محلی و یا فرار از موقعیت‌های بد [۳۴]، موقعیت جدیدی در الگوریتم پیشنهادی برای گرگ‌ها محاسبه می‌شود. در صورتی که این موقعیت‌ها بهتر از قبل باشند، جایگزین موقعیت قبلی می‌گردد:

$$\overrightarrow{Pos} = \begin{cases} \overrightarrow{Pos} + rand(\overrightarrow{Pos}(\text{random permutation})) \\ \quad - \overrightarrow{Pos}(\text{random permutation})) & \text{if } rand \geq 0.1 \\ \overrightarrow{Pos} + CC(Iter) (\overrightarrow{X_{min}} + rand (\overrightarrow{X_{max}} - \overrightarrow{X_{min}})) & \text{Otherwise} \end{cases} \quad (14)$$

که در آن  $\overrightarrow{Pos}$  (random permutation) ایجاد می‌کند و موقعیت هر گرگ از یک گرگ تصادفی در جمعیت کم می‌شود و با موقعیت فعلی جمع می‌شود تا موقعیت جدیدی را ایجاد کند. در رابطه فوق با احتمال ۰.۹ با خش اول اجرا می‌شود و با احتمال کمتر از ۰.۱، گرگ‌ها با توجه به بازه فضای مسئله  $(\overrightarrow{X_{max}}, \overrightarrow{X_{min}})$  موقعیت خود را تغییر می‌دهند.

همان‌طور که در شکل (۱) مشاهده می‌شود، بعد از مقداردهی اولیه، کنترل برنامه وارد حلقه می‌شود و سه گرگ برتر انتخاب می‌گردد. بعد از آن موقعیت جدید گرگ‌ها بر اساس سه گرگ برتر محاسبه می‌شود و با این تغییر موقعیت، دوباره سه گرگ برتر انتخاب می‌شوند. با استفاده از رابطه (۱۴)، موقعیت جدیدی برای گرگ‌ها محاسبه می‌گردد تا در صورتی که موقعیت جدید بهتر باشد، جایگزین موقعیت قبلی گردد و امکان فرار از بهینه محلی فراهم گردد.

#### ۴- نتایج ارزیابی الگوریتم گرگ خاکستری مبتنی بر شرایط

در این بخش عملکرد الگوریتم پیشنهادی براساس توابع محک ۲۰۱۸ (CEC2018) [۳۵] و مسئله مهندسی طراحی مخزن تحت فشار [۳۶]، مورد ارزیابی قرار می‌گیرد.

#### ۴-۱- ارزیابی الگوریتم‌ها بر اساس توابع محک ۲۰۱۸

این مجموعه شامل توابع محک در چندین بخش تک‌حالته، چندحالته ساده و ترکیبی می‌باشند. توابع تک‌حالته (F1, F3) تنها یک نقطه بهینه سراسری داشته و برای ارزیابی قابلیت بهره برداری الگوریتم‌های فرالبتکاری استفاده می‌شود. توابع چندحالته ساده (F4-F10) دارای چند نقطه بهینه محلی بوده و برای ارزیابی قابلیت اکتشاف الگوریتم‌ها مورد استفاده قرار می‌گیرند. برای ارزیابی توازن بین بهره برداری و اکتشاف و اجتناب از گیرافتادن در بهینه محلی، توابع ترکیبی (F11-F20) که مجموعه‌ای از توابع تک‌حالته و چندحالته می‌باشند، مورد استفاده قرار می‌گیرند.

باشد که نشان می‌دهد با افزایش ابعاد الگوریتم قابلیت بهره‌برداری آن کاهش می‌یابد. این وضعیت در الگوریتم‌های AGWO و GWO نیز در این تابع قابل مشاهده است. از بین الگوریتم‌های مورد مقایسه، الگوریتم‌های AGWO و EEGWO نتایج بسیار ضعیفی دارند.

شکل ۲، نمودار همگرایی الگوریتم پیشنهادی و سایر نسخه‌های الگوریتم‌های گرگ خاکستری در بعد ۱۰، روی تابع ۱ و ۱۲ و در بعد ۳۰ روی تابع ۱۳ و ۱۵ نشان می‌دهد. تابع ۱ تک حالته است و قابلیت بهره‌برداری الگوریتم‌ها را نشان می‌دهد. سایر توابع چند حالته ترکیبی هستند که توازن بین اکتشاف و بهره‌برداری و توانایی الگوریتم‌ها در فرار از بهینه‌های محلی را نشان می‌دهند. همان طور که در شکل مشاهده می‌شود الگوریتم پیشنهادی، با اختلاف زیادی نسبت به سایر الگوریتم‌ها، به میانگین خطای کمتری روی این توابع دست می‌یابد. به عبارت دیگر، الگوریتم پیشنهادی با اکتشاف بهتر، نواحی امیدبخش را بهتر از سایر الگوریتم‌ها یافته است.

میانگین بهترین نتایج دارد و در مجموع کارایی بهتری نسبت به سایر الگوریتم‌های گرگ خاکستری بهبود یافته دارد. در تابع ۶، خطای بدست آمده توسط I-GWO کمتر است و در تابع ۹، الگوریتم پیشنهادی با اختلاف کمی در رتبه دوم بعد از EGWO قرار می‌گیرد.

تابع شماره ۱۱ تا ۲۰ که توابع ترکیبی هستند و برای ارزیابی توازن بین اکتشاف و بهره‌برداری در الگوریتم‌ها و توانایی الگوریتم در فرار از بهینه‌های محلی مورد استفاده قرار می‌گیرند. در این توابع، الگوریتم پیشنهادی با خطای بسیار کمتری نسبت به سایر الگوریتم‌ها در تمام توابع برنده است. الگوریتم EEGWO در این توابع نتایج بسیار ضعیفی دارد. نکته قابل توجه این است که الگوریتم پیشنهادی، با افزایش ابعاد از ۱۰ به ۳۰، خطای نتایج آن چندان تغییر نکرده است، در حالی که در سایر الگوریتم‌ها، خطاهای به دست آمده در بعد ۳۰ نسبت به بعد ۱۰ بسیار قابل توجه است. به عنوان مثال در تابع ۳ که الگوریتم I-GWO در بعد ۱ خطای کمی داشته است، در بعد ۳۰ دارای خطای زیاد می-

جدول ۳: نتایج مقایسه الگوریتم پیشنهادی (Cb-GWO) با سایر الگوریتم‌های گرگ خاکستری در بعد ۱۰ و بعد ۳۰

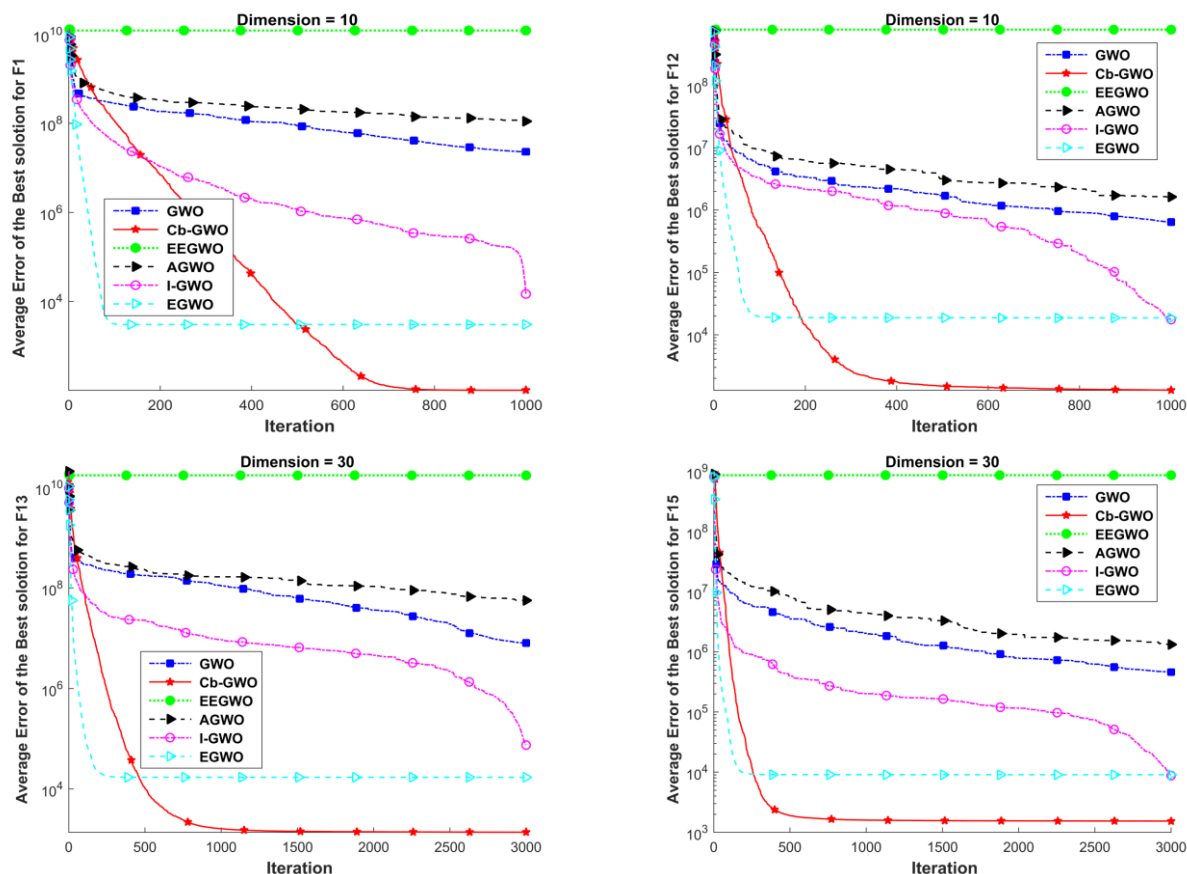
Function	Algorithm	Dimension=10			Dimension=30		
		Min	Mean	STD	Min	Mean	STD
F1	GWO	4.0740E+03	2.2821E+07	7.8175E+07	5.9091E+07	6.9614E+08	5.7333E+08
	Cb-GWO	4.2518E-03	<b>1.3198E-02</b>	6.9397E-03	5.3838E-02	<b>1.6101E-01</b>	9.4585E-02
	EEGWO	8.3374E+09	1.2182E+10	2.3949E+09	5.0176E+10	5.8512E+10	5.5034E+09
	AGWO	4.7659E+07	1.1111E+08	8.5340E+07	1.6116E+09	2.9500E+09	9.5932E+08
	I-GWO	8.4527E+03	1.4540E+04	5.0219E+03	2.0178E+04	4.1670E+04	1.6411E+04
	EGWO	6.1704E+00	2.8981E+03	3.1328E+03	9.0782E-02	4.9511E+03	5.1139E+03
F3	GWO	4.2056E+01	2.2295E+02	3.1530E+02	1.0290E+04	2.8259E+04	1.1611E+04
	Cb-GWO	5.1697E-08	1.6548E-07	1.2068E-07	1.5523E-06	<b>3.2020E-06</b>	1.6832E-06
	EEGWO	5.4427E+03	1.3033E+04	3.5756E+03	8.3406E+04	9.0438E+04	2.5251E+03
	AGWO	7.8441E+01	2.8451E+02	4.0490E+02	1.0125E+04	2.2987E+04	6.9636E+03
	I-GWO	3.9021E-03	3.0719E-02	2.3526E-02	1.8605E+01	8.6257E+02	1.0842E+03
	EGWO	0.0000E+00	<b>3.4106E-14</b>	3.8685E-14	3.5811E-12	2.4290E-05	1.0630E-04
F4	GWO	2.3951E+00	1.0906E+01	8.2583E+00	9.3535E+01	1.4863E+02	3.6393E+01
	Cb-GWO	1.4545E-04	<b>8.1610E-04</b>	5.8826E-04	1.9255E+01	<b>5.7325E+01</b>	1.5522E+01
	EEGWO	4.3294E+02	1.2321E+03	3.8254E+02	1.3181E+04	1.8864E+04	2.8834E+03
	AGWO	9.3036E+00	1.4003E+01	7.4405E+00	1.7476E-02	2.4502E+02	6.4660E+01
	I-GWO	4.3925E-01	1.0563E+00	5.9278E-01	6.8042E+01	8.6775E+01	4.4722E+00
	EGWO	1.0152E-01	5.1475E-01	1.3448E-01	4.4220E+00	7.3084E+01	2.1589E+01
F5	GWO	3.9866E+00	8.9421E+00	4.5364E+00	5.6806E+01	7.7408E+01	1.5997E+01
	Cb-GWO	2.0450E+00	<b>6.1720E+00</b>	2.0106E+00	2.9317E+01	<b>4.0812E+01</b>	8.0389E+00
	EEGWO	9.1391E+01	1.2768E+02	1.6629E+01	4.1547E+02	4.6748E+02	2.4469E+01
	AGWO	2.1790E+01	3.1666E+01	6.3635E+00	1.8152E+02	2.0996E+02	1.7798E+01
	I-GWO	2.9895E+00	7.3582E+00	5.3962E+00	2.3957E+01	6.1025E+01	4.5431E+01
	EGWO	2.9849E+00	1.2430E+01	7.4145E+00	3.0844E+01	5.4613E+01	1.5311E+01
F6	GWO	4.9787E-02	4.1163E-01	4.7802E-01	1.6968E-00	4.1357E+00	1.5890E+00
	Cb-GWO	1.1287E-01	1.9050E-01	6.7089E-02	1.0258E+00	2.0321E+00	5.5671E-01
	EEGWO	4.5888E+01	6.7632E+01	7.8200E+00	9.0233E+01	1.0487E+02	4.5890E+00
	AGWO	4.4261E+00	6.3760E+00	1.5584E+00	1.7236E+01	2.5608E+01	4.0888E+00
	I-GWO	3.1615E-02	4.8469E-02	1.3056E-02	5.6003E-02	9.2223E-02	2.1065E-02
	EGWO	0.0000E+00	<b>1.0232E-13</b>	3.4992E-14	2.2737E-13	<b>1.9529E-03</b>	8.7338E-03
F7	GWO	1.3492E+01	2.6038E+01	1.2567E+01	7.4749E+01	1.3534E+02	4.1458E+01
	Cb-GWO	1.1716E+01	<b>1.7117E+01</b>	3.6783E+00	6.2269E+01	<b>8.1498E+01</b>	9.4200E+00
	EEGWO	1.1980E-02	1.3863E+02	9.4232E+00	6.6242E+02	7.5507E+02	4.5596E+01
	AGWO	3.6537E+01	4.5925E+01	4.9920E+00	2.3454E+02	2.7711E+02	2.4368E+01
	I-GWO	1.1934E+01	2.2191E+01	7.8148E+00	4.8404E+01	8.3008E+01	4.6731E+01
	EGWO	1.0580E+01	2.1233E+01	5.1146E+00	6.7149E+01	9.4482E+01	1.7873E+01

ادامه جدول ۳: نتایج مقایسه الگوریتم پیشنهادی (Cb-GWO) با سایر الگوریتم‌های گرگ خاکستری در بعد ۱۰ و بعد ۳۰

Function	Algorithm	Dimension=10			Dimension=30		
		Min	Mean	STD	Min	Mean	STD
F8	GWO	4.9827E+00	1.1673E+01	4.0885E+00	4.7410E+01	8.3485E+01	3.1883E+01
	Cb-GWO	3.9901E+00	6.4492E+00	1.3424E+00	3.3251E+01	<b>4.2984E+01</b>	6.3249E+00
	EEGWO	5.0361E+01	6.9400E+01	7.5499E+00	3.3958E+02	3.8013E+02	1.9102E+01
	AGWO	1.2464E+01	2.2620E+01	4.4350E+00	1.5495E+02	1.8863E+02	2.2827E+01
	I-GWO	9.9619E-01	<b>4.8845E+00</b>	3.9544E+00	1.6983E+01	5.0869E+01	4.1769E+01
	EGWO	4.9748E+00	1.1492E+01	5.5582E+00	3.7808E+01	5.8553E+01	1.1967E+01
F9	GWO	8.3208E-02	8.4726E-01	1.7133E+00	1.0347E+02	4.8551E+02	2.9621E+02
	Cb-GWO	5.1448E-03	1.7537E-02	7.6633E-03	1.0803E+00	7.7851E+00	8.0899E+00
	EEGWO	4.0751E+02	9.8237E+02	2.4894E+02	1.0749E+04	1.3135E+04	1.1852E+03
	AGWO	2.8461E+00	1.6116E+01	1.6668E+01	8.1439E+02	1.6879E+03	5.4010E+02
	I-GWO	4.5861E-04	<b>1.7117E-03</b>	1.0611E-03	2.3593E-02	<b>1.1157E-01</b>	6.2917E-02
	EGWO	0.0000E+00	2.0981E-01	5.3489E-01	4.3575E+00	1.2039E+02	2.2674E+02
F10	GWO	5.6863E+01	5.7306E+02	2.8183E+02	1.8461E+03	2.9281E+03	5.1891E+02
	Cb-GWO	1.4508E+02	<b>2.8707E+02</b>	8.5659E+01	2.0566E+03	<b>2.8606E+03</b>	3.9169E+02
	EEGWO	1.8227E+03	2.2428E+03	2.0929E+02	7.4319E+03	8.4328E+03	4.1558E+02
	AGWO	2.5512E+02	8.6939E+02	3.0660E+02	3.8077E+03	6.0277E+03	8.1940E+02
	I-GWO	2.3316E-01	3.1700E+02	3.3823E+02	1.4298E+03	4.2593E+03	2.2066E+03
	EGWO	2.8471E+01	4.4893E+02	2.5990E+02	2.1035E+03	2.8694E+03	4.9354E+02
F11	GWO	3.8590E+00	2.9913E+01	3.7349E-01	1.6622E+02	3.6159E+02	5.4810E+02
	Cb-GWO	5.3282E-01	<b>2.0924E+00</b>	9.5607E-01	1.7057E+01	<b>3.6387E+01</b>	1.1624E+01
	EEGWO	1.4516E+03	4.1177E+03	2.0349E+03	5.2902E+03	1.0975E+04	2.7123E+03
	AGWO	1.7116E+01	3.3339E+01	9.5967E+00	2.7173E+02	4.9108E+02	2.5296E+02
	I-GWO	1.8610E-01	2.2906E+00	1.7480E+00	4.6147E+00	3.7708E+01	2.8114E+01
	EGWO	9.9496E-01	4.1374E+00	2.7225E+00	1.6567E+01	6.8740E+01	4.2737E+01
F12	GWO	1.7162E+04	6.4052E+05	7.8360E+05	1.9310E+06	3.3584E+07	3.5276E+07
	Cb-GWO	1.7237E+01	<b>8.1008E+01</b>	2.9813E+01	5.2344E+02	<b>8.9914E+02</b>	2.3220E+02
	EEGWO	2.0546E+08	7.8793E+08	3.3686E+08	1.0326E+10	1.5648E+10	3.0287E+09
	AGWO	8.7631E+04	1.6263E+06	1.4682E+06	1.0404E+08	1.9997E+08	6.8033E+07
	I-GWO	2.3816E+03	1.6220E+04	1.4993E+04	2.3449E+05	6.9581E+05	4.2482E+05
	EGWO	5.5463E+02	1.7352E+04	1.4218E+04	2.5628E+04	5.7936E+04	2.7915E+04
F13	GWO	1.9271E+03	8.9335E+03	6.4633E+03	3.2080E+04	8.0122E+06	2.9858E+07
	Cb-GWO	5.9911E+00	<b>1.0604E+01</b>	1.9793E+00	5.7307E+01	<b>7.4553E+01</b>	1.4246E+01
	EEGWO	4.7668E+04	3.3581E+07	3.1409E+07	1.0987E+10	1.7441E+10	4.0471E+09
	AGWO	2.1315E+03	1.0232E+04	8.0543E+03	8.3430E+06	5.6544E+07	2.6607E+07
	I-GWO	1.5272E+02	3.8515E+02	1.7553E+02	2.1898E+04	7.3112E+04	3.3265E+04
	EGWO	1.8403E+01	7.3397E+03	8.9387E+03	3.8755E+02	1.5698E+04	1.1869E+04
F14	GWO	5.3296E+01	7.6418E+02	1.4115E+03	2.8490E+02	1.5068E+05	2.8167E+05
	Cb-GWO	4.6023E+00	<b>9.8731E+00</b>	3.5325E+00	3.4181E+01	<b>4.3056E+01</b>	4.6373E+00
	EEGWO	5.8896E+03	2.3991E+05	3.5276E+05	3.8991E+06	1.4080E+07	8.5527E+06
	AGWO	6.4112E+01	1.1768E+02	2.8580E+01	2.2918E+04	8.3940E+04	8.9973E+04
	I-GWO	1.8747E+01	4.4301E+01	1.0411E+01	2.9250E+02	1.9769E+03	2.3187E+03
	EGWO	1.9199E+01	1.7052E+03	1.8967E+03	1.3578E+03	9.6077E+03	4.7280E+03
F15	GWO	2.4403E+01	1.7180E+03	1.9146E+03	9.4231E+03	4.5884E+05	9.4577E+05
	Cb-GWO	1.3222E+00	<b>2.0302E+00</b>	5.1342E+01	1.1569E+01	<b>3.1510E+01</b>	9.7742E+00
	EEGWO	1.2102E+04	5.4856E+04	3.7445E+04	1.7009E+08	8.5980E+08	3.6926E+08
	AGWO	4.9906E+01	4.1897E+02	8.2553E+02	1.9417E+05	1.3196E+06	1.0305E+06
	I-GWO	7.5884E+00	2.1372E+01	1.0896E+01	1.0387E+03	7.2198E+03	1.0217E+04
	EGWO	1.3638E+01	4.1934E+03	4.6145E+03	4.1226E+01	7.5293E+03	8.7051E+03
F16	GWO	6.4575E+00	6.2114E+01	5.0889E+01	2.8996E+02	6.9024E+02	2.4355E+02
	Cb-GWO	1.5382E+00	<b>2.5390E+00</b>	7.8286E+01	2.0705E+02	4.7780E+02	1.5527E+02
	EEGWO	4.4811E+02	7.7158E+02	1.2220E+02	4.3355E+03	5.6245E+03	7.3684E+02
	AGWO	2.1918E+01	5.9707E+01	5.2955E+01	5.4416E+02	1.0489E+03	2.5891E+02
	I-GWO	1.5299E+00	3.2644E+00	1.4287E+00	7.5742E+00	<b>1.8811E+02</b>	2.0447E+02
	EGWO	2.4994E-01	6.3195E+01	1.0127E+02	1.5281E+02	7.8759E+02	3.0702E+02
F17	GWO	2.3619E+01	5.2095E+01	2.5305E+01	8.8559E+01	2.6922E+02	1.1877E+02
	Cb-GWO	2.2101E+01	<b>2.6007E+01</b>	3.1956E+00	5.7075E+01	<b>9.5935E+01</b>	2.4786E+01
	EEGWO	1.1060E+02	1.9976E+02	5.8601E+01	1.9468E+03	5.1882E+03	4.3771E+03
	AGWO	4.2138E+01	5.5369E+01	1.8151E+01	1.8283E+02	3.6604E+02	1.2493E+02
	I-GWO	3.6104E+00	2.8121E+01	8.9457E+00	2.6316E+01	1.0726E+02	9.4388E+01
	EGWO	2.4303E+00	3.0080E+01	3.3469E+01	4.0802E+01	3.0776E+02	2.1650E+02
F18	GWO	1.0572E+03	2.3209E+04	1.5007E+04	3.6159E+04	6.0491E+05	5.5738E+05
	Cb-GWO	3.6954E+00	<b>6.1040E+00</b>	1.5124E+00	2.8267E+01	<b>3.1436E+01</b>	2.7843E+00
	EEGWO	1.1012E+07	2.4454E+08	2.1093E+08	3.5671E+06	1.1091E+08	8.3357E+07
	AGWO	1.8132E+04	3.9053E+04	1.4395E+04	2.8496E+05	8.7611E+05	4.5735E+05
	I-GWO	4.0735E+02	2.3788E+03	1.9671E+03	3.3376E+04	8.7490E+04	5.4636E+04
	EGWO	4.9151E+02	6.6706E+03	4.9107E+03	1.4098E+04	1.7280E+05	1.3488E+05

ادامه جدول ۳: نتایج مقایسه الگوریتم پیشنهادی (Cb-GWO) با سایر الگوریتم‌های گرگ خاکستری در بعد ۱۰ و بعد ۳۰

Function	Algorithm	Dimension=10			Dimension=30		
		Min	Mean	STD	Min	Mean	STD
F19	GWO	4.8390E+00	2.8753E+03	5.0432E+03	4.8368E+03	3.6741E+05	2.9220E+05
	Cb-GWO	1.5773E+00	<b>2.1495E+00</b>	3.8844E-01	1.9141E+01	<b>2.3403E+01</b>	2.1147E+00
	EEGWO	5.5301E+05	1.1317E+07	1.5339E+07	5.1794E+08	1.2570E+09	4.0082E+08
	AGWO	3.1396E+01	5.3084E+02	1.8431E+03	1.3263E+06	3.5385E+06	1.7178E+06
	I-GWO	8.6713E+00	1.9111E+01	6.7819E+00	3.0500E+02	5.8385E+03	7.2343E+03
	EGWO	8.8067E+01	4.9250E+03	6.0626E+03	4.6427E+02	1.2101E+04	1.2099E+04
F20	GWO	2.4167E+01	5.3826E+01	3.2440E+01	1.3701E+02	3.1104E+02	9.0763E+01
	Cb-GWO	1.6657E+00	<b>1.5029E+01</b>	9.4115E+00	4.7169E+01	<b>8.3048E+01</b>	1.9805E+01
	EEGWO	2.4035E+02	3.4956E+02	5.7004E+01	1.0051E+03	1.3585E+03	1.6111E+02
	AGWO	3.5967E+01	7.3930E+01	3.9450E+01	2.3625E+02	4.2258E+02	1.1316E+02
	I-GWO	1.0179E+00	2.2537E+01	8.5470E+00	2.6050E+01	1.1477E+02	8.9788E+01
	EGWO	3.1217E-01	2.5788E+01	4.2034E+01	3.3437E+01	3.1995E+02	1.8506E+02



شکل ۲: نمودار همگرایی الگوریتم گرگ خاکستری مبتنی بر موقعیت و سایر نسخه‌های الگوریتم‌های گرگ خاکستری در بعد ۱۰ روی توابع ۱ و ۱۲ و بعد ۳۰ روی توابع ۱۳ و ۱۵

همان‌طور که از رتبه بندی‌ها در این جدول‌ها مشخص است الگوریتم پیشنهادی بهترین رتبه را در هر دو بعد دارد و الگوریتم I-GWO با اختلاف زیادی در رتبه بعدی قرار دارد. الگوریتم EEGWO از همه الگوریتم‌های مورد مقایسه، حتی الگوریتم اصلی گرگ خاکستری، نتایج ضعیفتری را ارائه می‌دهد.

در جدول ۴ و جدول ۵، نتایج آزمون فریدمن براساس ۲۰ دور اجرای مستقل الگوریتم‌های جدول ۳، به ترتیب برای ابعاد ۱۰ و ۳۰ آورده شده است. نتایج بر اساس کمترین خطای به دست آمده در هر اجرا است. آزمون فریدمن [۴۳]، آزمونی ناپارامتری آماری است که برای مقایسه میانگین رتبه‌ها در گروه‌ها استفاده می‌شود.

کفتار خالدار [۴۱]، الگوریتم بهینه‌سازی اسب‌های وحشی [۴۲] مقایسه شده است. الگوریتم ازدحام ذرات از الگوریتم‌های فرابتکاری پایه است و الگوریتم عقاب، الگوریتم بهینه‌سازی کرکس آفریقایی، الگوریتم بهینه‌سازی شاهین هریس و الگوریتم بهینه‌سازی اسب‌های وحشی از جدیدترین الگوریتم‌های فرابتکاری می‌باشند. الگوریتم بهینه‌سازی کفتار خالدار نیز ساختاری شبیه الگوریتم گرگ خاکستری دارد به همین دلیل برای مقایسه انتخاب شده است.

جدول ۶: نتایج الگوریتم پیشنهادی با سایر الگوریتم‌ها روی توابع محک CEC2018 در بعد ۳۰

Function	Algorithm	Dimension=30		
		Min	Mean	STD
F1	Cb-GWO	5.3838E-02	1.6101E-01	9.4585E-02
	PSO	5.0195E+00	4.6841E+03	4.9920E+03
	AO	1.4883E+06	3.4652E+06	9.7066E+05
	AVOA	4.7037E+00	3.3987E+03	3.4971E+03
	HHO	5.4946E+06	8.3343E+06	2.1060E+06
	SHO	5.7295E+10	6.6936E+10	4.8260E+09
	WHO	5.0167E-06	<b>3.4293E-03</b>	7.0639E-03
F3	Cb-GWO	1.5523E-06	<b>3.2020E-06</b>	1.6832E-06
	PSO	1.9821E+03	4.0039E+03	1.4435E+03
	AO	2.5177E+03	6.4619E+03	2.7148E+03
	AVOA	1.8498E-05	1.0518E+01	4.0277E+01
	HHO	1.9831E+02	6.6153E+02	2.1586E+02
	SHO	9.0154E+04	4.9152E+06	1.3615E+07
	WHO	8.6157E-05	7.2148E-02	1.5414E-01
F4	Cb-GWO	1.9255E+01	5.7325E+01	1.5522E+01
	PSO	7.3007E+01	1.3441E+02	2.9312E+01
	AO	7.5381E+01	1.2475E+02	2.7628E+01
	AVOA	4.7600E+00	8.4229E+01	2.9690E+01
	HHO	7.7279E+01	1.0977E+02	1.8718E+01
	SHO	1.7982E+04	2.2651E+04	2.7495E+03
	WHO	8.6680E-01	<b>5.6178E+01</b>	3.1985E+01
F5	Cb-GWO	2.9317E+01	<b>4.0812E+01</b>	8.0389E+00
	PSO	2.9849E+01	6.0762E+01	1.4587E+01
	AO	1.1137E+02	1.4393E+02	2.8197E+01
	AVOA	1.4327E+02	1.9094E+02	3.0847E+01
	HHO	1.7647E+02	2.2117E+02	2.8611E+01
	SHO	4.5786E+02	5.0933E+02	3.1248E+01
	WHO	3.4824E+01	5.1310E+01	1.1109E+01
F6	Cb-GWO	1.0258E+00	2.0321E+00	5.5671E-01
	PSO	1.7664E-05	1.9651E-02	4.2710E-02
	AO	2.3235E+01	3.7585E+01	6.4488E+00
	AVOA	2.2201E+01	3.2701E+01	7.2330E+00
	HHO	4.4423E+01	5.8939E+01	5.7838E+00
	SHO	1.0070E+02	1.2381E+02	1.2439E+01
	WHO	2.1358E-05	<b>2.1348E-01</b>	4.0351E-01
F7	Cb-GWO	6.2269E+01	<b>8.1498E+01</b>	9.4200E+00
	PSO	4.5590E+01	1.1233E+02	2.9412E+01
	AO	1.4476E+02	2.3749E+02	4.4911E+01
	AVOA	2.5327E+02	3.4196E+02	6.0328E+01
	HHO	3.4532E+02	5.0027E+02	6.1152E+01
	SHO	7.5111E+02	8.0306E+02	2.3043E+01
	WHO	6.2696E+01	9.2422E+01	1.2669E+01

جدول ۴: نتایج مقایسه و ارزیابی الگوریتم پیشنهادی با سایر الگوریتم‌های بهبود یافته گرگ بر اساس آزمون فریدمن در بعد ۱۰

Function	GWO	Cb-GWO	EEGWO	AGWO	I-GWO	EGWO
F1	3.7	1	6	4.95	3.35	2
F3	4.4	2	6	4.6	3	1
F4	4.2	1	6	4.8	2.9	2.1
F5	2.8	2.35	6	5	1.85	3
F6	3.4	3.5	6	5	2.1	1
F7	3	1.7	6	4.95	2.75	2.6
F8	3.45	2.15	6	4.85	1.4	3.15
F9	3.9	2.75	6	5	1.75	1.6
F10	3.4	2.05	6	4.5	2.2	2.85
F11	4.25	2	6	4.7	1.65	2.4
F12	4.05	1	6	4.85	2.5	2.6
F13	4.3	1	6	4.2	2.15	3.35
F14	3.5	1	6	3.9	2.15	4.45
F15	4.05	1	6	3.55	2.05	4.35
F16	4.15	1.9	6	4.2	2.2	2.55
F17	4.05	1.95	6	4.5	2.45	2.05
F18	3.95	1	6	4.8	2.3	2.95
F19	3.4	1	6	3.8	2.1	4.7
F20	4.05	1.9	6	4.65	2.55	1.85
Sum	72	<b>32.25</b>	114	86.8	43.4	50.55
Rank	4	<b>1</b>	6	5	2	3

جدول ۵: نتایج مقایسه و ارزیابی الگوریتم پیشنهادی با سایر الگوریتم‌های بهبود یافته گرگ بر اساس آزمون فریدمن در بعد ۳۰

Function	GWO	Cb-GWO	EEGWO	AGWO	I-GWO	EGWO
F1	4	1	6	5	3	2
F3	4.65	1.9	6	4.35	3	1.1
F4	4.05	1.15	6	4.95	2.95	1.9
F5	3.6	1.8	6	5	2.1	2.5
F6	3.9	3.1	6	5	2	1
F7	3.6	2.2	6	5	1.65	2.55
F8	3.55	1.85	6	4.95	1.65	3
F9	3.95	2.15	6	4.95	1	2.95
F10	2.7	2.25	6	4.75	3.05	2.25
F11	4.1	1.9	6	4.9	1.7	2.4
F12	4.05	1	6	4.95	3	2
F13	3.7	1	6	4.9	3.35	2.05
F14	3.9	1	6	4.6	2.1	3.4
F15	4.1	1	6	4.9	2.55	2.45
F16	3.2	2.4	6	4.55	1.15	3.7
F17	3.55	1.9	6	4.25	1.75	3.55
F18	3.95	1	6	4.75	2.4	2.9
F19	3.95	1	6	5	2.45	2.6
F20	3.6	1.5	6	4.45	1.85	3.6
Sum	72.1	<b>31.1</b>	114	91.2	42.7	47.9
Rank	4	<b>1</b>	6	5	2	3

در جدول ۶، نتایج الگوریتم پیشنهادی روی توابع محک CEC2018 در بعد ۳۰ با الگوریتم بهینه‌سازی ازدحام ذرات [۳۷]، الگوریتم عقاب [۳۸]، الگوریتم بهینه سازی کرکس آفریقایی [۳۹]، الگوریتم بهینه‌سازی شاهین هریس [۴۰]، الگوریتم بهینه‌سازی

جدول ۶ (ادامه): نتایج الگوریتم پیشنهادی و سایر الگوریتم‌ها  
روی توابع مک ۳۰ در CEC2018 بعد

Function	Algorithm	Dimension=30		
		Min	Mean	STD
F16	Cb-GWO	2.0705E+02	<b>4.7780E+02</b>	1.5527E+02
	PSO	3.1619E+02	7.0887E+02	2.6010E+02
	AO	6.8833E+02	1.2186E+03	3.3854E+02
	AVOA	8.5403E+02	1.2609E+03	2.3964E+02
	HHO	6.2947E+02	1.5562E+03	3.7943E+02
	SHO	3.6030E+03	5.3956E+03	1.1498E+03
F17	WHO	1.5406E+02	5.0301E+02	1.7293E+02
	Cb-GWO	5.7075E+01	<b>9.5935E+01</b>	2.4786E+01
	PSO	4.5487E+01	2.0777E+02	1.0208E+02
	AO	1.3199E+02	5.5138E+02	2.6997E+02
	AVOA	1.9558E+02	5.4331E+02	2.2967E+02
	HHO	3.8074E+02	8.1133E+02	2.4585E+02
F18	SHO	1.8475E+03	4.9033E+03	1.9202E+03
	WHO	6.6025E+01	1.7384E+02	8.1473E+01
	Cb-GWO	2.8267E+01	<b>3.1436E+01</b>	2.7843E+00
	PSO	8.4604E+03	2.7837E+05	1.9820E+05
	AO	5.1051E+04	1.1585E+06	1.0312E+06
	AVOA	4.4215E+04	1.5258E+05	1.0797E+05
F19	HHO	9.7339E+04	6.6324E+05	1.1553E+06
	SHO	4.1898E+07	1.7388E+08	1.3136E+08
	WHO	6.0295E+03	2.9701E+04	2.3058E+04
	Cb-GWO	1.9141E+01	<b>2.3403E+01</b>	2.1147E+00
	PSO	4.2079E+02	2.2861E+04	1.7908E+04
	AO	5.8130E+04	2.8352E+05	2.0208E+05
F20	AVOA	2.9553E+02	7.9089E+03	8.1468E+03
	HHO	1.2927E+04	1.5773E+05	1.2421E+05
	SHO	9.4379E+08	2.7789E+09	1.4550E+09
	WHO	3.4704E+01	1.6002E+02	1.1100E+02
	Cb-GWO	4.7169E+01	<b>8.3048E+01</b>	1.9805E+01
	PSO	3.5360E+01	1.6341E+02	1.3028E+02

همان‌طور که در جدول ۶، دیده می‌شود، روش پیشنهادی در تمام توابع به غیر از تابع ۱، ۴ و ۶ خطای کمتری را نشان می‌دهد. در این دو تابع الگوریتم اسب وحشی با اختلاف کمی نتایج بهتری را نشان می‌دهد. در تابع ۳، الگوریتم پیشنهادی تفاوت قابل توجهی در به دست آوردن خطای کمتر نسبت به سایر الگوریتم‌ها از خود نشان می‌دهد. این تابع و تابع ۱ از نوع تک حالته می‌باشد و از روی آن قابلیت بهره‌برداری الگوریتم‌ها ارزیابی می‌گردد. سایر الگوریتم‌ها نتایج ضعیفی را در این دو تابع دارند و در این میان عملکرد الگوریتم بهینه‌سازی کفتارهای خالدار از همه ضعیفتر است.

در تابع ۴ تا تابع ۱۰، که چند حالته ساده می‌باشند و قابلیت اکتشاف الگوریتم‌ها مقایسه می‌گردد، توانایی الگوریتم پیشنهادی در فرار از بهینه‌های محلی نسبت به سایر الگوریتم‌های مورد مقایسه بهتر است. در کل در این توابع، الگوریتم پیشنهادی خطای

جدول ۶ (ادامه): نتایج الگوریتم پیشنهادی و سایر الگوریتم‌ها  
روی توابع مک ۳۰ در CEC2018 بعد

Function	Algorithm	Dimension=30		
		Min	Mean	STD
F8	Cb-GWO	3.3251E+01	<b>4.2984E+01</b>	6.3249E+00
	PSO	4.0009E+01	6.1566E+01	1.1808E+01
	AO	8.5575E+01	1.2926E+02	2.0932E+01
	AVOA	9.2531E+01	1.4374E+02	2.4536E+01
	HHO	1.2071E+02	1.5057E+02	1.9540E+01
	SHO	3.4998E+02	4.0037E+02	2.2213E+01
F9	WHO	3.4824E+01	5.5429E+01	1.1559E+01
	Cb-GWO	1.0803E+00	<b>7.7851E+00</b>	8.0899E+00
	PSO	6.7253E+00	7.5515E+01	9.4161E+01
	AO	1.9392E+03	3.1661E+03	8.9282E+02
	AVOA	2.4279E+03	4.2153E+03	9.1910E+02
	HHO	3.7929E+03	4.9362E+03	7.5192E+02
F10	SHO	1.3261E+04	1.9147E+04	5.4842E+03
	WHO	4.6327E+00	7.0548E+01	6.6713E+01
	Cb-GWO	2.0566E+03	<b>2.8606E+03</b>	3.9169E+02
	PSO	1.3772E+03	2.4357E+03	5.5403E+02
	AO	3.1181E+03	3.9825E+03	4.3316E+02
	AVOA	1.9862E+03	3.7497E+03	7.1246E+02
F11	HHO	3.2476E+03	4.4451E+03	8.1646E+02
	SHO	7.9699E+03	8.8527E+03	5.0453E+02
	WHO	2.6428E+03	3.1400E+03	3.8763E+02
	Cb-GWO	1.7057E+01	<b>3.6387E+01</b>	1.1624E+01
	PSO	1.8893E+01	9.5994E+01	4.2043E+01
	AO	1.3212E+02	2.3543E+02	8.2723E+01
F12	AVOA	5.2746E+01	1.4199E+02	5.2466E+01
	HHO	5.2416E+01	1.4695E+02	5.9622E+01
	SHO	1.1035E+04	2.6653E+04	1.0488E+04
	WHO	1.4171E+01	6.7304E+01	4.5225E+01
	Cb-GWO	5.2344E+02	<b>8.9914E+02</b>	2.3220E+02
	PSO	2.1327E+04	4.4857E+05	6.7552E+05
F13	AO	2.8487E+06	1.0111E+07	8.9430E+06
	AVOA	3.5681E+05	1.3559E+06	1.0783E+06
	HHO	1.7015E+06	8.2503E+06	4.2319E+06
	SHO	1.0531E+10	1.8285E+10	3.7437E+09
	WHO	3.5822E+03	3.8919E+04	9.9017E+04
	Cb-GWO	5.7307E+01	<b>7.4553E+01</b>	1.4246E+01
F14	PSO	9.2995E+01	9.1159E+03	1.2533E+04
	AO	6.8740E+04	2.0232E+05	8.0580E+04
	AVOA	9.6469E+03	4.1629E+04	2.4442E+04
	HHO	8.0888E+04	1.7225E+05	7.1187E+04
	SHO	7.4355E+09	1.7543E+10	5.6568E+09
	WHO	2.2110E+03	2.3904E+04	2.1276E+04
F15	Cb-GWO	3.4181E+01	<b>4.3056E+01</b>	4.6373E+00
	PSO	3.1259E+02	1.9537E+04	1.4609E+04
	AO	1.1167E+04	1.1727E+05	1.3903E+05
	AVOA	1.0651E+03	2.2925E+04	1.6940E+04
	HHO	1.6695E+03	2.5303E+04	3.3438E+04
	SHO	1.4829E+06	1.7442E+07	1.1254E+07
F15	WHO	1.4770E+02	1.7400E+03	3.6197E+03
	Cb-GWO	1.1569E+01	<b>3.1510E+01</b>	9.7742E+00
	PSO	8.3857E+01	9.6100E+03	9.2413E+03
	AO	2.1315E+04	7.0029E+04	3.8822E+04
	AVOA	9.4457E+02	1.5960E+04	1.5622E+04
	HHO	8.0579E+03	4.6827E+04	3.4322E+04
F15	SHO	7.4151E+08	2.0064E+09	1.2626E+09
	WHO	5.5460E+01	9.0948E+03	1.3608E+04

Consider	$\vec{x} = [x_1 \ x_2 \ x_3 \ x_4]$ ,	(۱۵)
Minimize	$f(\vec{x}) = 0.6224x_1x_3x_4 + 1.7781x_2x_3^2 + 3.1661x_1^2x_4 + 19.84x_1^2x_3,$	
Subject to	$g_1(\vec{x}) = -x_1 + 0.0193x_3 \leq 0,$ $g_2(\vec{x}) = -x_3 + 0.00954x_3 \leq 0,$ $g_3(\vec{x}) = -\pi x_3^2 x_4 - \frac{4}{3}\pi x_3^3 + 1296000 \leq 0,$ $g_4(\vec{x}) = x_4 - 240 \leq 0,$	
Variable range	$0 \leq x_1 \leq 99,$	

در جدول ۷، نتایج نسخه‌های الگوریتم‌های بهینه‌سازی گرگ خاکستری در مقایسه با الگوریتم پیشنهادی روی مسئله طراحی مخزن تحت فشار نشان داده شده است. در این جدول تعداد جمعیت برابر ۱۰۰ و تعداد تکرارها برابر با ۱۰۰۰ در نظر گرفته شده است. همان طور که مشاهده می‌شود الگوریتم پیشنهادی گرگ خاکستری مبتنی بر شرایط، حداقل هزینه را در بین الگوریتم‌های مورد مقایسه به دست آورده است. در این جدول الگوریتم EEGWO از بقیه الگوریتم‌ها بسیار ضعیفتر عمل کرده است.

جدول ۷: نتایج الگوریتم پیشنهادی و سایر الگوریتم‌ها روی مسئله طراحی مخزن تحت فشار

Algorithm	Optimal values for variables				Optimum Cost
	$x_1$	$x_2$	$x_3$	$x_4$	
GWO	0.781	0.387	40.435	198.433	5892.880
Cb-GWO	0.778	0.385	40.320	200.000	<b>5885.336</b>
EEGWO	6.014	30.921	72.878	80.991	376528.303
AGWO	0.839	0.425	43.101	175.621	6171.210
I-GWO	0.778	0.385	40.332	199.865	5887.375
EGWO	0.969	0.479	50.192	103.985	6332.488

## ۵- نتیجه‌گیری

الگوریتم‌های فرآبتكاری دارای مزایای زیادی از جمله سادگی، انعطاف‌پذیری و پیداکردن راه حل‌های خوب در زمان قابل قبول می‌باشند. همین مزایا باعث شده تا اکثر محققان از این الگوریتم‌ها برای حل مسائل پیچیده دنیای واقعی استفاده نمایند. تاکنون الگوریتم‌های فرآبتكاری جدید یا نسخه‌های بهبود یافته آنها در انواع مسائل بهینه‌سازی به کار گرفته شده است اما هنوز نیاز است بر روی بهبود ساختار الگوریتم‌های فرآبتكاری تمرکز نمود تا این الگوریتم‌ها بتوانند راه حل‌های بهتری را ارائه دهند. یکی از

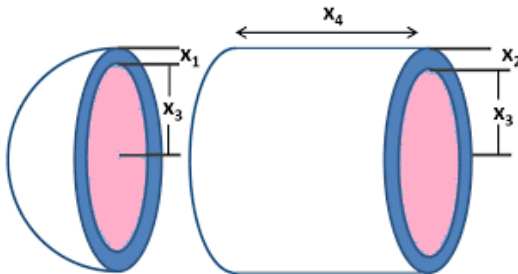
کمتری تولید می‌کند و الگوریتم بهینه سازی اسب وحشی در جایگاه بعدی قرار دارد.

در توابع ۱۱ تا ۲۰ که توابع ترکیبی می‌باشند و توازن بین قابلیت اکتشاف و بهره‌برداری در این توابع مورد ارزیابی قرار می‌گیرد، روش پیشنهادی اختلاف قابل ملاحظه‌ای در مقابل سایر روش‌ها دارد و در این توابع، روش پیشنهادی با برتری کامل در تمام این توابع، نتایج بهتری را به دست آورده است.

همان گونه که مشاهده شد، نسخه‌های مختلف الگوریتم گرگ مورد مقایسه با روش پیشنهادی، از اکتشاف ضعیفی برخوردار هستند، بنابراین به دام بهینه‌های محلی گرفتار می‌آیند و براساس ساختار الگوریتم‌ها، امکان فرار از بهینه‌های محلی را ندارند، در این صورت دچار همگرایی زودرس می‌گردند. حتی در توابع تک حالته که توابع ساده‌ای برای بهینه‌سازی هستند، راه حل مناسبی ارائه نمی‌دهند. همین نقطه ضعف باعث می‌شود که در توابع چند حالته نیز، نتایج خوبی را به دست نیاورند. در صورتی که در روش پیشنهادی با استفاده از رابطه (۱۰) اکتشاف به خوبی انجام می‌شود و روابط (۱۲) و (۱۳) حرکت تدریجی به سمت بهره‌برداری تا کامل شدن بهره‌برداری را انجام می‌دهند. رابطه (۱۴)، امکان فرار از بهینه‌های محلی در هر مرحله فراهم می‌آورد.

## ۴-۲-۴- ارزیابی الگوریتم‌ها در یافتن پارامترهای بهینه برای طراحی مسئله مهندسی مخزن تحت فشار

در شکل ۳، ساختار یک مخزن تحت فشار نشان داده شده است. در این مسئله، هدف بهینه کردن هزینه کل طراحی مخزن تحت فشار است که شامل هزینه مواد، شکل دهی و جوشکاری است [۳۶].



شکل (۳) ساختار یک مخزن تحت فشار

متغیرهایی که بایستی بهینه گردد تا هزینه حداقل گردد عبارتند از: متغیرها ضخامت پوسته ( $x_1$ ، ضخامت سر ( $x_2$ ، شعاع داخلی ( $x_3$ ) و طول بخش استوانه‌ای ظرف ( $x_4$ ). تابع هدف این مسئله به صورت زیر تعریف می‌گردد [۳۶]:

- [2] "Improved centripetal accelerated particle swarm optimization," *Int. J. Adv. Soft Comput. its Appl.*, vol. 8, no. 2, pp. 1–26, 2016.
- [3] R. Salgotra, U. Singh, S. Singh, G. Singh, and N. Mittal, "Self-adaptive salp swarm algorithm for engineering optimization problems," *Appl. Math. Model.*, vol. 89, pp. 188–207, 2021.
- [4] H. Majani and M. Nasri, "Water Streams Optimization (WSTO): A new Metaheuristic Optimization method in High-Dimensional Problems," *J. Soft Comput. Inf. Technol.*, vol. 10, no. 1, pp. 36–51, 2021.
- [5] R. Sabbagh Gol and N. Daneshpour, "An Improved View Selection Algorithm in Data Warehouses by Shuffled Frog Leaping Algorithm in 0/1 Knapsack Problem," *J. Soft Comput. Inf. Technol.*, vol. 9, no. 3, pp. 163–179, 2020.
- [6] Z. Beheshti, "UTF: Upgrade transfer function for binary metaheuristic algorithms," *Appl. Soft Comput.*, vol. 106, p. 107346, 2021.
- [7] Z. Beheshti, "BMNABC: Binary Multi-Neighborhood Artificial Bee Colony for High-Dimensional Discrete Optimization Problems," *Cybern. Syst.*, vol. 49, no. 7–8, pp. 452–474, 2018.
- [8] S. Mirjalili, S. M. Mirjalili, and A. Lewis, "Grey wolf optimizer," *Adv. Eng. Softw.*, vol. 69, pp. 46–61, 2014.
- [9] M. Liu, K. Luo, J. Zhang, and S. Chen, "A stock selection algorithm hybridizing grey wolf optimizer and support vector regression," *Expert Syst. Appl.*, vol. 179, p. 115078, 2021.
- [10] W. Xie, W.-Z. Wu, C. Liu, T. Zhang, and Z. Dong, "Forecasting fuel combustion-related CO<sub>2</sub> emissions by a novel continuous fractional nonlinear grey Bernoulli model with grey wolf optimizer," *Environ. Sci. Pollut. Res.*, vol. 28, no. 28, pp. 38128–38144, 2021.
- [11] D. Hasterok, R. Castro, M. Landrat, K. Pikoń, M. Doepfert, and H. Morais, "Polish Energy Transition 2040: Energy Mix Optimization Using Grey Wolf Optimizer," *Energies*, vol. 14, no. 2, 2021.
- [12] S. N. Makhadmeh *et al.*, "Smart Home Battery for the Multi-Objective Power Scheduling Problem in a Smart Home Using Grey Wolf Optimizer," *Electronics*, vol. 10, no. 4, 2021.
- [13] N. Thakur, Y. K. Awasthi, and A. S. Siddiqui, "Reliability analysis and power quality improvement model using enthalpy based grey wolf optimizer," *Energy Syst.*, vol. 12, no. 1, pp. 31–59, 2021.
- [14] E. Uzlu, "Estimates of greenhouse gas emission in Turkey with grey wolf optimizer algorithm-optimized artificial neural networks," *Neural Comput. Appl.*, 2021.
- [15] M. H. Nadimi-Shahroki, S. Taghian, and S. Mirjalili, "An improved grey wolf optimizer for solving engineering problems," *Expert Syst. Appl.*, vol. 166, p. 113917, 2021.
- [16] K. Luo, "Enhanced grey wolf optimizer with a model for dynamically estimating the location of the prey," *Appl. Soft Comput.*, vol. 77, pp. 225–235, 2019.
- [17] M. Banaie-Dezfouli, M. H. Nadimi-Shahroki, and Z. Beheshti, "R-GWO: Representative-based grey wolf optimizer for solving engineering problems," *Appl. Soft Comput.*, vol. 106, p. 107328, 2021.
- [18] Y. Li, X. Lin, and J. Liu, "An Improved Gray Wolf Optimization Algorithm to Solve Engineering Problems," *Sustainability*, vol. 13, no. 6, 2021.
- [19] M. Kohli and S. Arora, "Chaotic grey wolf optimization algorithm for constrained optimization problems," *J. Comput. Des. Eng.*, vol. 5, no. 4, pp. 458–472, 2018.
- [20] W. Long, J. Jiao, X. Liang, and M. Tang, "An exploration-enhanced grey wolf optimizer to solve high-dimensional numerical optimization," *Eng. Appl. Artif. Intell.*, vol. 68, pp. 63–80, 2018.
- [21] Z. Yue, S. Zhang, and W. Xiao, "A Novel Hybrid Algorithm Based on Grey Wolf Optimizer and Fireworks Algorithm," *Sensors*, vol. 20, no. 7, 2020.
- [22] X. Zhang, Q. Lin, W. Mao, S. Liu, Z. Dou, and G. Liu, "Hybrid Particle Swarm and Grey Wolf Optimizer and its application to clustering optimization," *Appl. Soft Comput.*, vol. 101, p. 107061, 2021.

الگوریتم‌های فرالبتکاری پر کاربرد، الگوریتم بهینه‌سازی گرگ خاکستری است که اکتشاف ضعیفی دارد و گرفتار بهینه‌های محلی می‌گردد. این الگوریتم به دلیل پیروی کردن اعضا از سه گرگ برتر دچار این مشکلات می‌گردد. اگر این سه گرگ در بهینه محلی باشند، در بعضی موارد امکان فرار از آن را ندارند و بقیه گرگ‌ها نیز به تله بهینه محلی گرفتار خواهند آمد. از این رو در این تحقیق، نسخه بهبودیافته‌ای از الگوریتم گرگ خاکستری به نام الگوریتم بهینه‌سازی گرگ خاکستری مبتنی بر شرایط ارائه شده است. در الگوریتم پیشنهادی روابط مرحله اکتشاف از بهره‌برداری جدا گردیده و در مرحله اکتشاف، گرگ‌ها با جستجوی محلی پیرامون خود، فضای مسئله را به خوبی جستجو می‌کنند، سپس به تدریج از اکتشاف به سمت بهره‌برداری حرکت می‌کنند. در نهایت در اواخر اجرای الگوریتم به بهره‌برداری کامل می‌پردازند. در هر تکرار نیز بعد از مراحل فوق، اگر گرگ‌ها موقعیت خوبی پیدا نکرده باشند، مجدداً "شانس بهبود موقعیت را با استفاده از موقعیت سایر گرگ‌ها و فضای مسئله را خواهند داشت. الگوریتم پیشنهادی با چند نسخه از الگوریتم‌های بهبود یافته گرگ خاکستری، همچنین الگوریتم بهینه‌سازی ازدحام ذرات، الگوریتم بهینه‌سازی شاهین هریس، الگوریتم بهینه‌سازی کفتار خالدار، الگوریتم بهینه‌سازی اسب وحشی، الگوریتم عقاب، الگوریتم بهینه سازی کرکس آفریقایی که از جمله الگوریتم‌های فرالبتکاری بسیار جدید هستند، روی توابع بهینه‌سازی CEC2018 و مسئله مهندسی طراحی مخازن تحت فشار مقایسه شده است. این توابع قابلیت بهره‌برداری، اکتشاف، توازن بین اکتشاف و بهره‌برداری را در الگوریتم‌های فرالبتکاری ارزیابی می‌کنند. در مسئله طراحی مخازن تحت فشار، پارامترهای مسئله باید به گونه‌ای محاسبه گردد تا هزینه کل طراحی حداقل گردد. نتایج به دست آمده حاکی از کارایی الگوریتم پیشنهادی گرگ خاکستری مبتنی بر شرایط در مقایسه با الگوریتم‌های دیگر است. از آنجا که بهبود عملکرد الگوریتم پیشنهادی در مقایسه با الگوریتم‌های جدید نیز قابل توجه است، از جمله راهکارهای آینده در خصوص گسترش این تحقیق می‌توان به موارد زیر اشاره کرد:

- ارزیابی عملکرد الگوریتم پیشنهادی Cb-GWO در سایر مسائل بهینه‌سازی و تنظیم پارامترهای سایر الگوریتم‌ها
- ارائه نسخه‌های گسسته و چنددهدفه الگوریتم پیشنهادی
- استفاده از روابط پیشنهادی در این الگوریتم در سایر الگوریتم‌های فرالبتکاری و ارزیابی عملکرد آن‌ها

## مراجع

- [1] Z. Beheshti, S. M. Shamsuddin, S. Hasan, and N. E. Wong,

- [42] I. Naruei and F. Keynia, "Wild horse optimizer: a new meta-heuristic algorithm for solving engineering optimization problems," *Eng. Comput.*, 2021.
- [43] J. Hu *et al.*, "Orthogonal learning covariance matrix for defects of grey wolf optimizer: Insights, balance, diversity, and feature selection," *Knowledge-Based Syst.*, vol. 213, p. 106684, 2021.
- [44] N. Gupta, Madan and Jin, Liang and Homma, *Static and dynamic neural networks: from fundamentals to advanced theory*. John Wiley & Sons, 2004.
- [22] W. Long, S. Cai, J. Jiao, M. Xu, and T. Wu, "A new hybrid algorithm based on grey wolf optimizer and cuckoo search for parameter extraction of solar photovoltaic models," *Energy Convers. Manag.*, vol. 203, p. 112243, 2020.
- [23] N. Mittal, U. Singh, and B. S. Sohi, "Modified Grey Wolf Optimizer for Global Engineering Optimization," *Appl. Comput. Intell. Soft Comput.*, vol. 2016, p. 7950348, 2016.
- [24] T. Jayabarathi, T. Raghunathan, B. R. Adarsh, and P. N. Suganthan, "Economic dispatch using hybrid grey wolf optimizer," *Energy*, vol. 111, pp. 630–641, 2016.
- [25] S. Padhy, S. Panda, and S. Mahapatra, "A modified GWO technique based cascade PI-PD controller for AGC of power systems in presence of Plug in Electric Vehicles," *Eng. Sci. Technol. an Int. J.*, vol. 20, no. 2, pp. 427–442, 2017.
- [26] N. Singh and S. B. Singh, "A novel hybrid GWO-SCA approach for optimization problems," *Eng. Sci. Technol. an Int. J.*, vol. 20, no. 6, pp. 1586–1601, 2017.
- [27] W. Long, S. Cai, J. Jiao, and M. Tang, "An efficient and robust grey wolf optimizer algorithm for large-scale numerical optimization," *Soft Comput.*, vol. 24, no. 2, pp. 997–1026, 2020.
- [28] A. Saxena, B. P. Soni, R. Kumar, and V. Gupta, "Intelligent Grey Wolf Optimizer – Development and application for strategic bidding in uniform price spot energy market," *Appl. Soft Comput.*, vol. 69, pp. 1–13, 2018.
- [29] A. K. Tripathi, K. Sharma, and M. Bala, "A Novel Clustering Method Using Enhanced Grey Wolf Optimizer and MapReduce," *Big Data Res.*, vol. 14, pp. 93–100, 2018.
- [30] C. Lu, L. Gao, and J. Yi, "Grey wolf optimizer with cellular topological structure," *Expert Syst. Appl.*, vol. 107, pp. 89–114, 2018.
- [31] H. Zamani, M. H. Nadimi-Shahroki, and A. H. Gandomi, "CCSA: Conscious Neighborhood-based Crow Search Algorithm for Solving Global Optimization Problems," *Appl. Soft Comput.*, vol. 85, p. 105583, 2019.
- [32] S. Gupta and K. Deep, "A novel Random Walk Grey Wolf Optimizer," *Swarm Evol. Comput.*, vol. 44, pp. 101–112, 2019.
- [33] M. H. Qais, H. M. Hasanien, and S. Alghuwainem, "Augmented grey wolf optimizer for grid-connected PMSG-based wind energy conversion systems," *Appl. Soft Comput.*, vol. 69, pp. 504–515, 2018.
- [34] A. Faramarzi, M. Heidarinejad, S. Mirjalili, and A. H. Gandomi, "Marine Predators Algorithm: A nature-inspired metaheuristic," *Expert Syst. Appl.*, vol. 152, p. 113377, Aug. 2020.
- [35] N. H. Awad, M. Z. Ali, J. J. Liang, B. Y. Qu, and P. N. Suganthan, "CEC 2017 Special Session on Single Objective Numerical Optimization Single Bound Constrained Real-Parameter Numerical Optimization Topics Outline," 2017.
- [36] B. K. Kannan and S. N. Kramer, "An Augmented Lagrange Multiplier Based Method for Mixed Integer Discrete Continuous Optimization and Its Applications to Mechanical Design," *J. Mech. Des.*, vol. 116, no. 2, pp. 405–411, 1994.
- [37] J. Kennedy and R. C. Eberhart, "Particle swarm optimization," in *Proceedings of the 1995 IEEE International Conference on Neural Networks*, 1995, vol. 4, pp. 1942–1948.
- [38] L. Abualigah, D. Yousri, M. Abd Elaziz, A. A. Ewees, M. A. A. Al-qaness, and A. H. Gandomi, "Aquila Optimizer: A novel meta-heuristic optimization algorithm," *Comput. Ind. Eng.*, vol. 157, p. 107250, 2021.
- [39] B. Abdollahzadeh, F. S. Gharehchopogh, and S. Mirjalili, "African vultures optimization algorithm: A new nature-inspired metaheuristic algorithm for global optimization problems," *Comput. Ind. Eng.*, vol. 158, p. 107408, 2021.
- [40] A. A. Heidari, S. Mirjalili, H. Faris, I. Aljarah, M. Mafarja, and H. Chen, "Harris hawks optimization: Algorithm and applications," *Futur. Gener. Comput. Syst.*, vol. 97, pp. 849–872, 2019.
- [41] G. Dhiman and V. Kumar, "Spotted hyena optimizer: A novel bio-inspired based metaheuristic technique for engineering applications," *Adv. Eng. Softw.*, vol. 114, pp. 48–70, 2017.

### پاورقی‌ها:

- 1 NP-hard
- 2 Grey Wolf Optimizer (GWO)
- 3 Chaotic Grey Wolf Optimization (CGWO)
- 4 Exploration-enhanced grey wolf optimizer (EEGWO)
- 5 Enhanced Grey Wolf Optimizer (EGWO)
- 6 Condition-based Grey Wolf Optimizer (Cb-GWO)
- 7 modified Grey Wolf Optimizer (mGWO)
- 8 Hybrid Grey Wolf Optimizer(HGWO)
- 9 Modified Grey Wolf Optimization(MGWO)
- 10 GWO-SCA
- 11 Efficient and Robust GWO (ERGWO)
- 12 Particle Swarm Optimization(PSO)
- 13 Intelligent Grey Wolf Optimizer(IGWO)
- 14 Oppositional-based Learning
- 15 Enhanced Grey Wolf Optimizer (E-GWO)
- 16 Levy Flight
- 17 Cellular Grey Wolf Optimizer (C-GWO)
- 18 Random Walk Based Grey Wolf Optimizer (RW-GWO)
- 19 Cauchy Distribution
- 20 Improved Grey Wolf Optimizer (I-GWO)
- 21 Augmented grey wolf optimizer
- 22 Convergence Coefficient (CC)
- 23 Pressure Vessel Design Problem
- 24 Aquila Optimizer (AO)
- 25 African Vultures Optimization Algorithm (AVOA)
- 26 Harris Hawks Optimization (HHO)
- 27 Spotted Hyena Optimizer (SHO)
- 28 Wild Horse Optimizer (WHO)